



飞行动力学

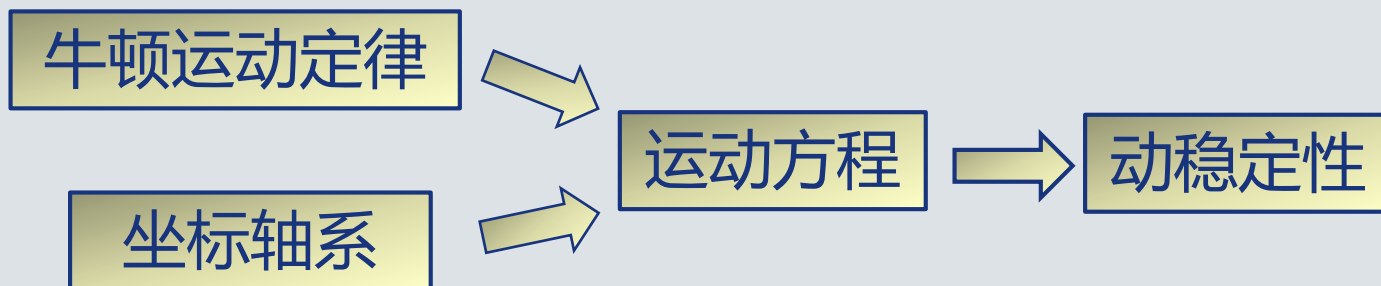
——稳定性与操纵性

航空学院 刘艳
lunarliuyan@nwpu.edu.cn

2. 飞机的运动方程

- 坐标轴系
常用轴系、坐标变换
- 运动方程
运动方程的推导、求解
- 运动方程的线化
小扰动理论

2.1 坐标轴系



用于表征飞机的位置、速度及作用在飞机上的力与力矩。

为什么需要这么多坐标轴系？

因为没有有一个坐标轴系能独立表征所有的参数。

常用的坐标轴系

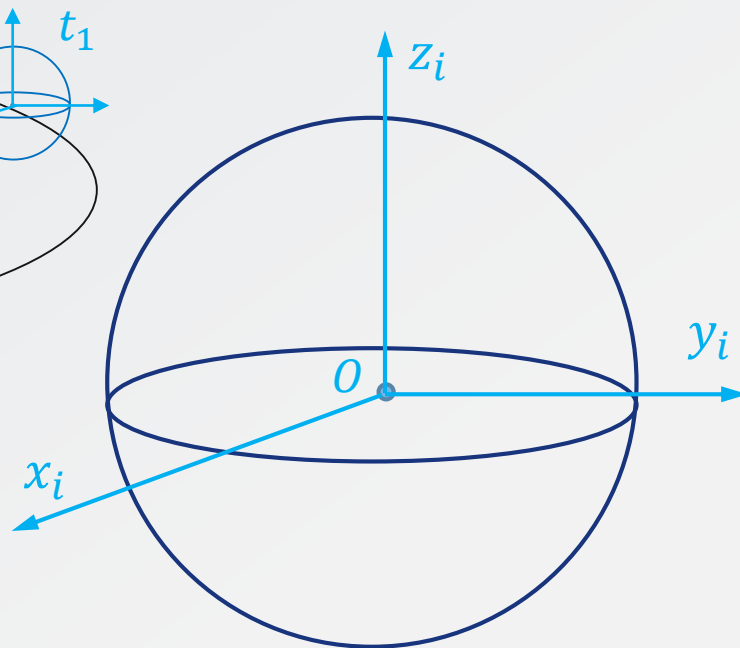
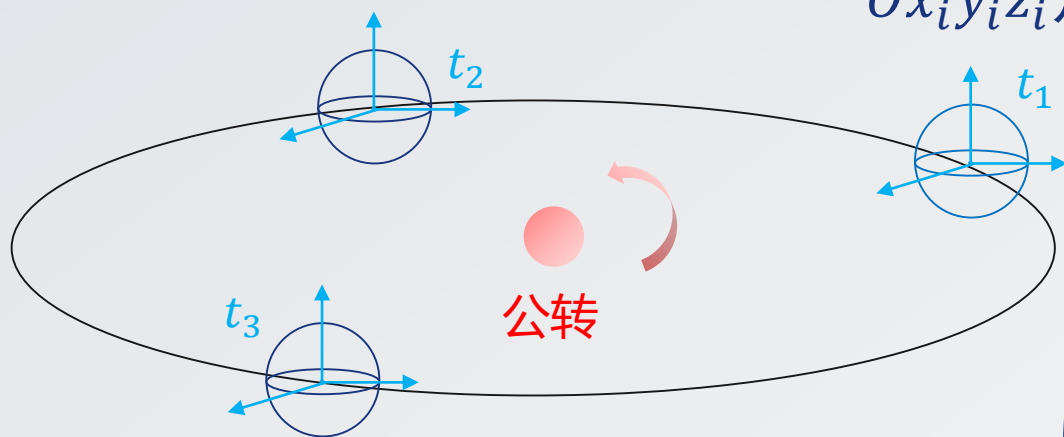
- 惯性轴系 ($Ox_i y_i z_i$)
- 地轴系 ($Ox_E y_E z_E$)
- 导航轴系 ($Ox_e y_e z_e$)
- 体轴系 ($Ox_b y_b z_b$)
 - 稳定轴系 ($Ox_s y_s z_s$)
 - 风轴系 ($Ox_w y_w z_w$)

惯性轴系

任何飞行动力学问题都必须指定一个惯性参考系，因为 $F = ma$ 的加速度项是相对于惯性参考系的。

找到一个绝对的惯性参考系具有一定难度。

对于大多数飞行动力学问题，原点位于地心的非旋转参考系 $Ox_iy_iz_i$ 是个很好的近似。

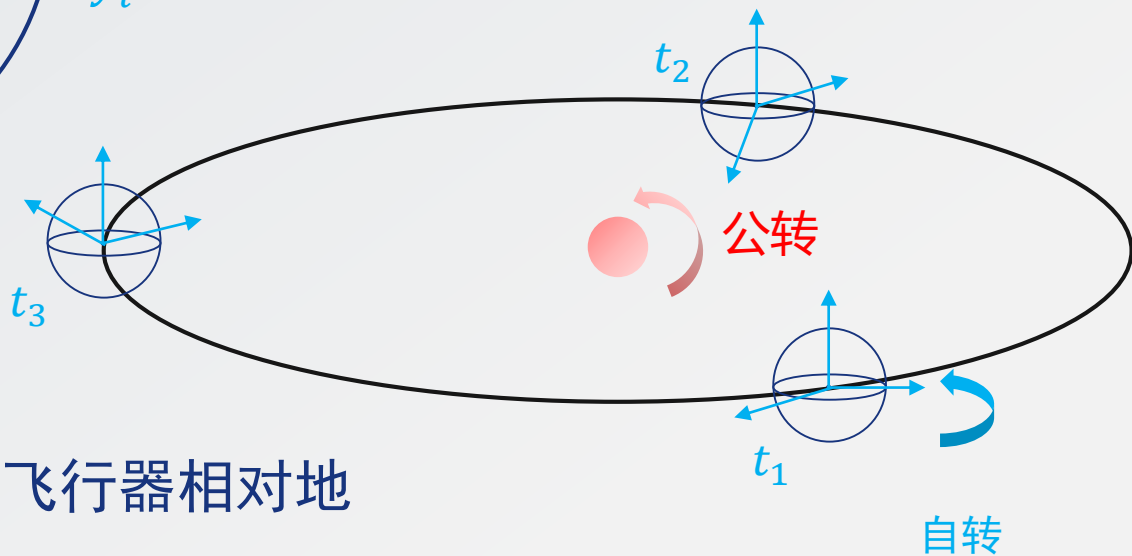
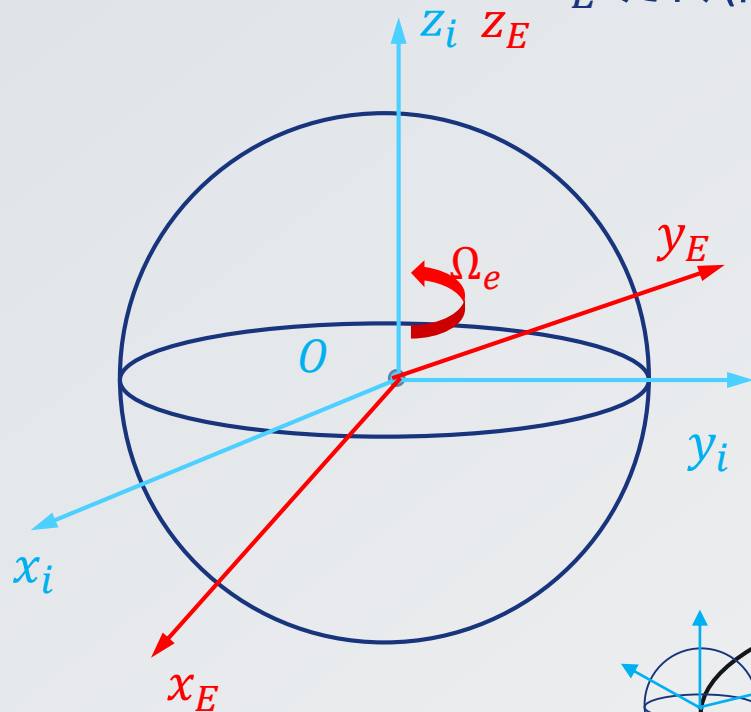


与绝对的惯性参考系相比：
忽略了地球公转的影响。

地轴系

地轴系与惯性轴系的区别：地轴系统绕 Oz_i 或 Oz_E 旋转(随地球自转)；惯性系不旋转。

Ω_e : 地轴系 $Ox_Ey_Ez_E$ 相对于惯性轴系 $Ox_iy_iz_i$ 的角速度

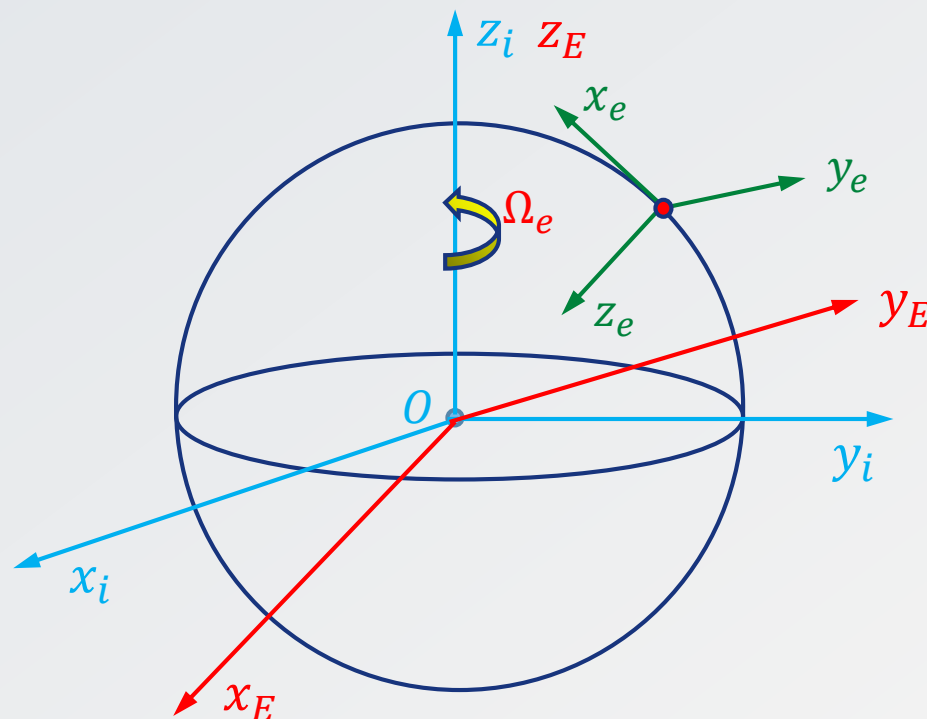


地轴系主要用于定义飞行器相对地球的位移与速度。

导航轴系

原点位于地球表面

- Ox_e 轴指向正北
- Oy_e 轴指向正东
- Oz_e 轴指向地心

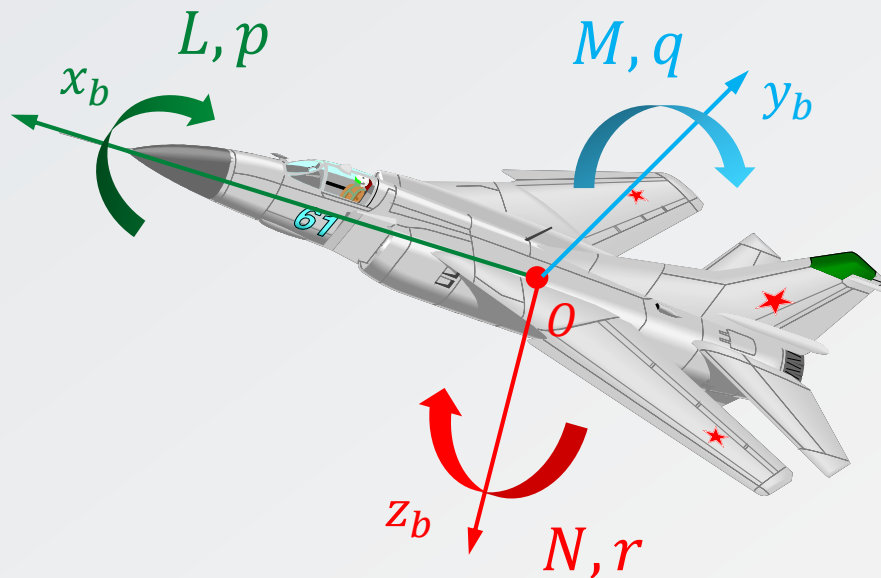


导航轴系主要用于确定飞机相对于发射点的位移与速度。

体轴系

任何固连在机体并随其运动的轴系均称为体轴系

- 原点通常为质心
- Ox_b 轴通常由重心沿纵向中心线或零升力线指向运动的方向
- Oy_b 轴垂直于 Ox_bz_b 平面并指向右
- Oz_b 轴位于飞机的对称面并指向下，构成右手系统



用于定义作用在飞机上的力与力矩，以及飞机的惯性矩、惯性积。

稳定轴系 ($Ox_s y_s z_s$) 与风轴系 ($Ox_w y_w z_w$) 是两个特殊的体轴系

Ox_s 轴位于飞机对称面

- 如果 $\beta = 0$, 指向与相对风相反的方向
- 如果 $\beta \neq 0$, 与相对速度在对称面内的投影重合

Oy_s 轴垂直于飞机对称面并指向右

Oz_s 轴指向下构成右手系统

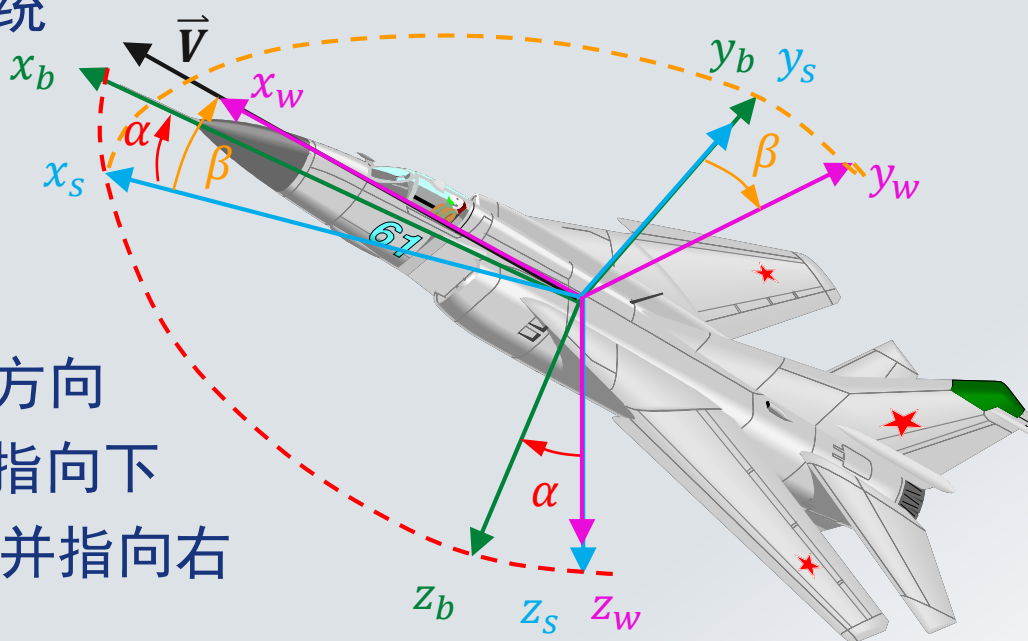
与体轴系 $Ox_b y_b z_b$ 相差
迎角 α

Ox_w 指向与相对风相反的方向

Oz_w 轴位于飞机对称面并指向下

Oy_w 轴垂直于 $Ox_w z_w$ 平面并指向右

与体轴系 $Ox_b y_b z_b$ 相差
侧滑角 β 和迎角 α

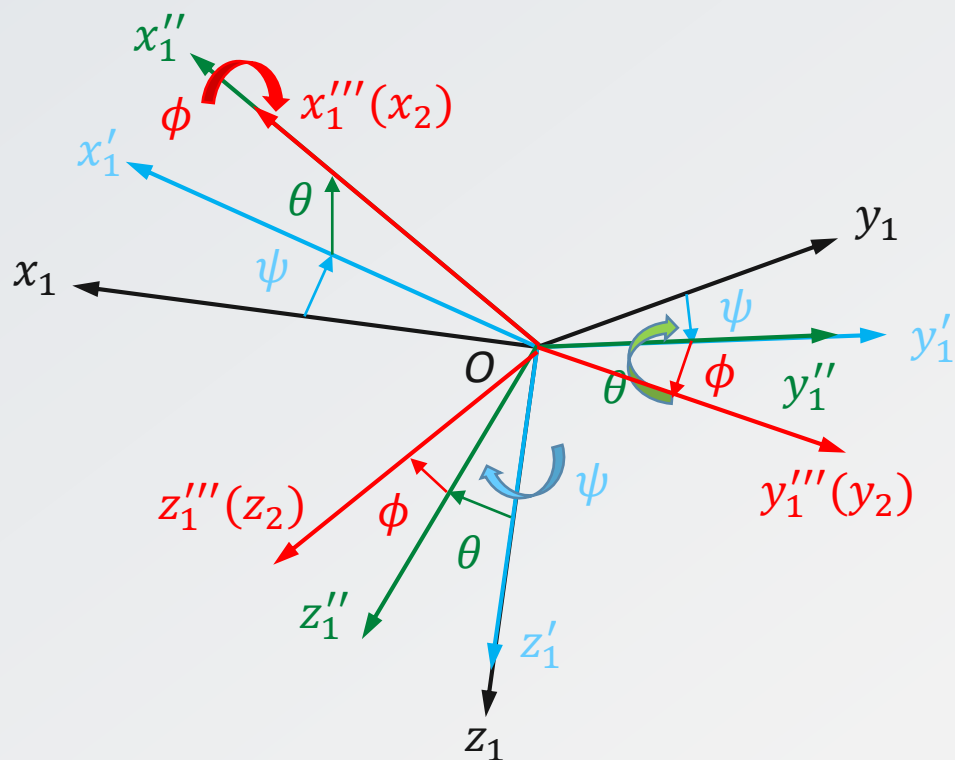


坐标变换

没有任何一个坐标系能独立定义所有参数，如何将各坐标系的参数联系起来？

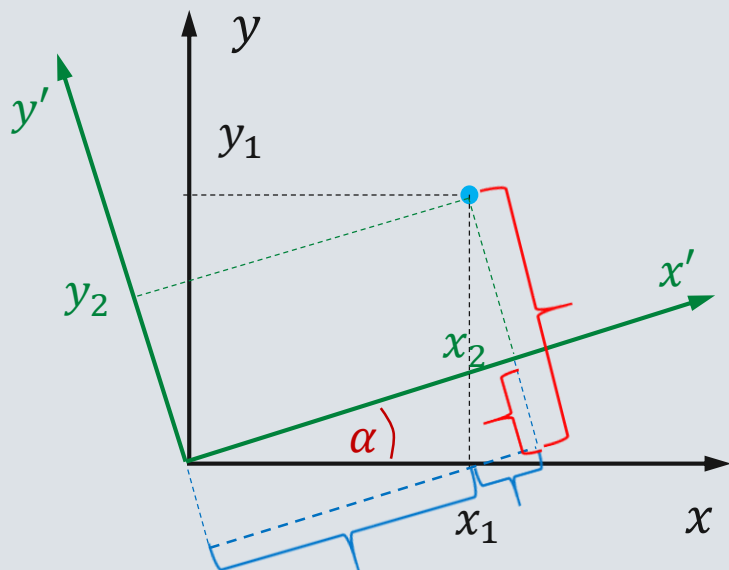
可通过坐标变换，将一个坐标系中的矢量投影到另一个坐标系。

一个坐标系相对于另一个坐标系的位置关系可以用三个角度 ψ, θ, ϕ 表示，这三个角即为欧拉角：偏航角 ψ 、俯仰角 θ 、滚转角 ϕ 。



一个坐标系经过连续3次旋转即可与另一个坐标系重合。

二维变换

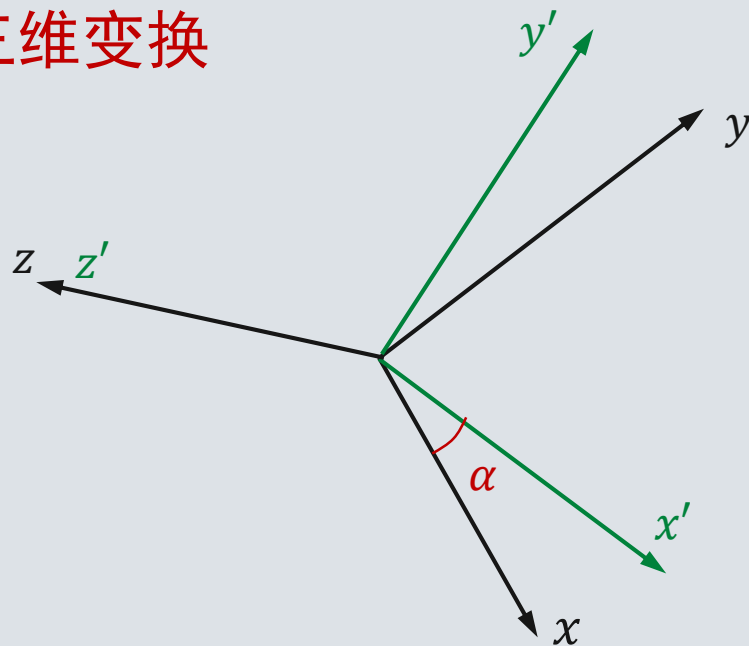


$$x_2 = x_1 \cos \alpha + y_1 \sin \alpha$$

$$y_2 = y_1 \cos \alpha - x_1 \sin \alpha$$

$$\Rightarrow \begin{bmatrix} x_2 \\ y_2 \end{bmatrix} = \begin{bmatrix} \cos \alpha & \sin \alpha \\ -\sin \alpha & \cos \alpha \end{bmatrix} \begin{bmatrix} x_1 \\ y_1 \end{bmatrix}$$

三维变换



$$x_2 = x_1 \cos \alpha + y_1 \sin \alpha$$

$$y_2 = y_1 \cos \alpha - x_1 \sin \alpha$$

$$z_2 = z_1$$

$$\Rightarrow \begin{bmatrix} x_2 \\ y_2 \\ z_2 \end{bmatrix} = \begin{bmatrix} \cos \alpha & \sin \alpha & 0 \\ -\sin \alpha & \cos \alpha & 0 \\ 0 & 0 & 1 \end{bmatrix} \begin{bmatrix} x_1 \\ y_1 \\ z_1 \end{bmatrix}$$

绕 x 轴 $L_{\textcircled{1}} = \begin{bmatrix} \textcircled{1} & 0 & 0 \\ 0 & \cos\alpha & \sin\alpha \\ 0 & -\sin\alpha & \cos\alpha \end{bmatrix}$

绕 y 轴 $L_{\textcircled{2}} = \begin{bmatrix} \cos\alpha & 0 & -\sin\alpha \\ 0 & \textcircled{1} & 0 \\ \sin\alpha & 0 & \cos\alpha \end{bmatrix}$

绕 z 轴 $L_{\textcircled{3}} = \begin{bmatrix} \cos\alpha & \sin\alpha & 0 \\ -\sin\alpha & \cos\alpha & 0 \\ 0 & 0 & \textcircled{1} \end{bmatrix}$

变换顺序:

$z \rightarrow y \rightarrow x$

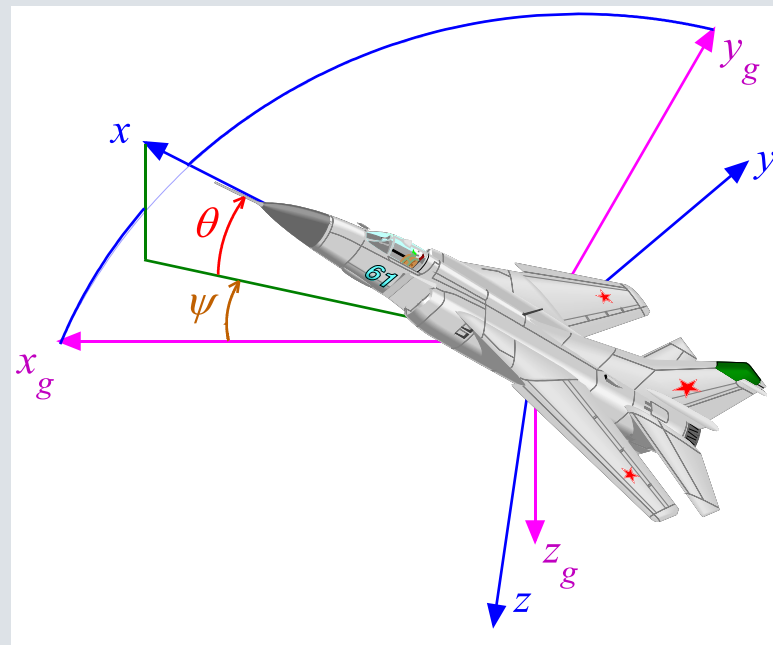
即 $L_1 L_2 L_3$

旋转顺序很重要，不同的旋转顺序将得到不同的新坐标。

地轴系 惯性轴系 → 体轴系

包括全部3个欧拉角：
先 ψ 、再 θ 最后 ϕ

$$T_E^b = L_1(\phi)L_2(\theta)L_3(\psi)$$



$$= \begin{bmatrix} 1 & 0 & 0 \\ 0 & \cos\phi & \sin\phi \\ 0 & -\sin\phi & \cos\phi \end{bmatrix} \begin{bmatrix} \cos\theta & 0 & -\sin\theta \\ 0 & 1 & 0 \\ \sin\theta & 0 & \cos\theta \end{bmatrix} \begin{bmatrix} \cos\psi & \sin\psi & 0 \\ -\sin\psi & \cos\psi & 0 \\ 0 & 0 & 1 \end{bmatrix}$$

$$= \begin{bmatrix} \cos\theta\cos\psi & \cos\theta\sin\psi & -\sin\theta \\ -\cos\phi\sin\psi + \sin\phi\sin\theta\cos\psi & \cos\phi\cos\psi + \sin\phi\sin\theta\sin\psi & \sin\phi\cos\theta \\ \sin\phi\sin\psi + \cos\phi\sin\theta\cos\psi & -\sin\phi\cos\psi + \cos\phi\sin\theta\sin\psi & \cos\phi\cos\theta \end{bmatrix}$$

风轴系→体轴系

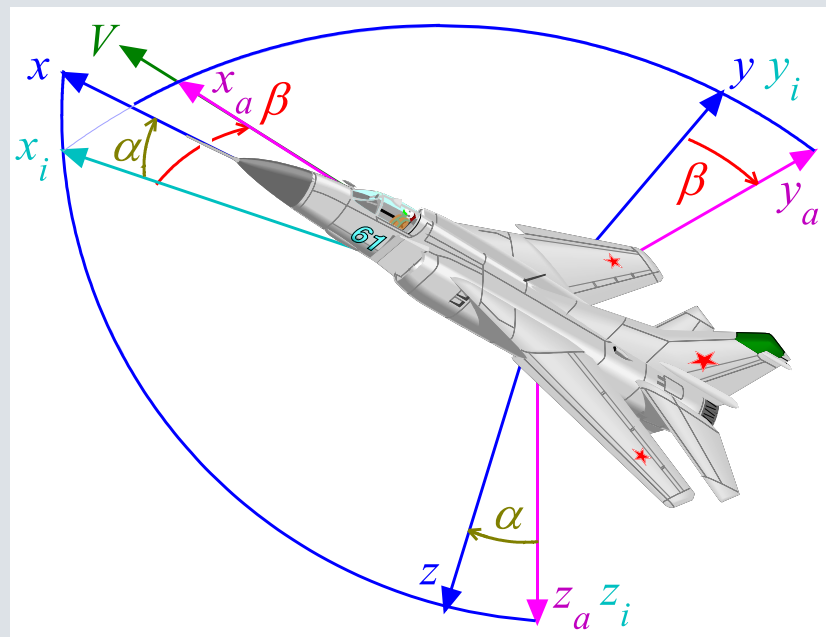
包括 $\psi = -\beta$, $\theta = \alpha$,
及任意 ϕ

$$T_w^b = L_1(\phi)L_2(\alpha)L_3(-\beta)$$

当 $\phi = 0$ 时

$$= \begin{bmatrix} \cos\alpha & 0 & -\sin\alpha \\ 0 & 1 & 0 \\ \sin\alpha & 0 & \cos\alpha \end{bmatrix} \begin{bmatrix} \cos\beta & -\sin\beta & 0 \\ \sin\beta & \cos\beta & 0 \\ 0 & 0 & 1 \end{bmatrix}$$

$$= \begin{bmatrix} \cos\alpha\cos\beta & -\cos\alpha\sin\beta & -\sin\alpha \\ \sin\beta & \cos\beta & 0 \\ \sin\alpha\cos\beta & -\sin\alpha\sin\beta & \cos\alpha \end{bmatrix}$$



例题

某飞机模型在低速风洞中进行试验，试验的迎角、侧滑角及滚转角分别为 $\alpha = 20^\circ, \beta = 10^\circ, \phi = 30^\circ$ 。采用内部应变天平测量到体轴系下的气动力分别为 $F_x = 21 \text{ lb}, F_y = -33 \text{ lb}, F_z = -91 \text{ lb}$ 。

试确定：

1. 体轴系到风轴系的变换矩阵 T_b^w ；
2. 作用在模型上的升力、阻力及侧力。

提示：

风轴系到体轴系的转换包括： $\psi = -\beta, \theta = \alpha$ 及任意 ϕ

解

$$T_w^b = L_1(\phi)L_2(\alpha)L_3(-\beta)$$

$$= \begin{bmatrix} 1 & 0 & 0 \\ 0 & \cos\phi & \sin\phi \\ 0 & -\sin\phi & \cos\phi \end{bmatrix} \begin{bmatrix} \cos\alpha & 0 & -\sin\alpha \\ 0 & 1 & 0 \\ \sin\alpha & 0 & \cos\alpha \end{bmatrix} \begin{bmatrix} \cos\beta & -\sin\beta & 0 \\ \sin\beta & \cos\beta & 0 \\ 0 & 0 & 1 \end{bmatrix}$$

$$= \begin{bmatrix} \cos\alpha & 0 & -\sin\alpha \\ \sin\phi\sin\alpha & \cos\phi & \sin\phi\cos\alpha \\ \cos\phi\sin\alpha & -\sin\phi & \cos\phi\cos\alpha \end{bmatrix} \begin{bmatrix} \cos\beta & -\sin\beta & 0 \\ \sin\beta & \cos\beta & 0 \\ 0 & 0 & 1 \end{bmatrix}$$

$$= \begin{bmatrix} \cos\alpha\cos\beta & -\cos\alpha\sin\beta & -\sin\alpha \\ \sin\phi\sin\alpha\cos\beta + \cos\phi\sin\beta & -\sin\phi\sin\alpha\sin\beta + \cos\phi\cos\beta & \sin\phi\cos\alpha \\ \cos\phi\sin\alpha\cos\beta - \sin\phi\sin\beta & -\cos\phi\sin\alpha\sin\beta - \sin\phi\cos\beta & \cos\phi\cos\alpha \end{bmatrix}$$

$$= \begin{bmatrix} 0.9254 & -0.1632 & -0.3420 \\ 0.3188 & 0.8232 & 0.4698 \\ 0.2049 & -0.5438 & 0.9138 \end{bmatrix}$$

$$T_b^w = (T_w^b)^{-1}$$

$$= \begin{bmatrix} 0.9254 & 0.3188 & 0.2049 \\ -0.1632 & 0.8232 & -0.5438 \\ -0.3420 & 0.4698 & 0.9138 \end{bmatrix}$$

$$\begin{bmatrix} F_{xw} \\ F_{yw} \\ F_{zw} \end{bmatrix} = T_b^w \begin{bmatrix} F_{xb} \\ F_{yb} \\ F_{zb} \end{bmatrix} = \begin{bmatrix} -9.0851 \\ 18.7788 \\ -96.9806 \end{bmatrix} \begin{array}{l} \text{指向后} \\ \text{指向右} \\ \text{指向上} \end{array}$$

$$\begin{bmatrix} \text{Drag} \\ \text{Side} \\ \text{Lift} \end{bmatrix} = \begin{bmatrix} 9.0851 \\ 18.7788 \\ 96.9806 \end{bmatrix}$$

2.2 运动方程

运动方程是飞行器运动分析、计算及仿真的基础。

飞行中的飞机是非常复杂的动态系统：

- 气动弹性
- 旋转部件的陀螺效应
- 外力

假设条件：

- 飞行器为6DOF的独立刚体
- 忽略地球的曲率和自转

牛顿运动方程

力方程 $\mathbf{F} = m \left(\frac{d\mathbf{V}}{dt} \right)_i$

力矩方程 $\mathbf{M} = \left(\frac{d\mathbf{H}}{dt} \right)_i$

惯性轴系

$\mathbf{H} = \mathbf{I} \boldsymbol{\omega}$



$\mathbf{M} = \left(\frac{d\mathbf{I}}{dt} \right)_i \boldsymbol{\omega} + \mathbf{I} \left(\frac{d\boldsymbol{\omega}}{dt} \right)_i$

- \mathbf{H} , 动量矩
- \mathbf{I} , 惯性矩阵
- $\boldsymbol{\omega}$, 惯性轴系下的角速度

$\mathbf{I} = \begin{bmatrix} I_{xx} & I_{xy} & I_{xz} \\ I_{yx} & I_{yy} & I_{yz} \\ I_{zx} & I_{zy} & I_{zz} \end{bmatrix}$

主惯性矩

$I_{xx} = \int (y^2 + z^2) dm$

$I_{yy} = \int (x^2 + z^2) dm$

$I_{zz} = \int (x^2 + y^2) dm$

惯性积

$I_{xy} = I_{yx} = \int xy dm$

$I_{yz} = I_{zy} = \int yz dm$

$I_{xz} = I_{zx} = \int xz dm$

力方程

$$F = m \left(\frac{dV}{dt} \right)_i \xrightarrow{\text{忽略地球自转}} F = m \left(\frac{dV}{dt} \right)_e$$

根据移轴定理

$$\left(\frac{dV_0}{dt} \right)_e = \left(\frac{dV_0}{dt} \right)_b + \boldsymbol{\omega}_{e,b}^b \times V_0$$

$$= \hat{i}_b \dot{u} + \hat{j}_b \dot{v} + \hat{k}_b \dot{w} + \begin{vmatrix} \hat{i}_b & \hat{j}_b & \hat{k}_b \\ p & q & r \\ u & v & w \end{vmatrix}$$

$$= \hat{i}_b (\dot{u} + wq - vr)$$

$$+ \hat{j}_b (\dot{v} + ur - wp)$$

$$+ \hat{k}_b (\dot{w} + vp - uq)$$

$$V_0 = \hat{i}_b u + \hat{j}_b v + \hat{k}_b w$$

$$\boldsymbol{\omega}_{e,b}^b = \boldsymbol{\omega}_{i,b}^b = \hat{i}_b p + \hat{j}_b q + \hat{k}_b r$$

$$F = \hat{i}_b F_x + \hat{j}_b F_y + \hat{k}_b F_z$$

$$F_x = m(\dot{u} + wq - vr)$$

$$F_y = m(\dot{v} + ur - wp)$$

$$F_z = m(\dot{w} + vp - uq)$$

力矩方程

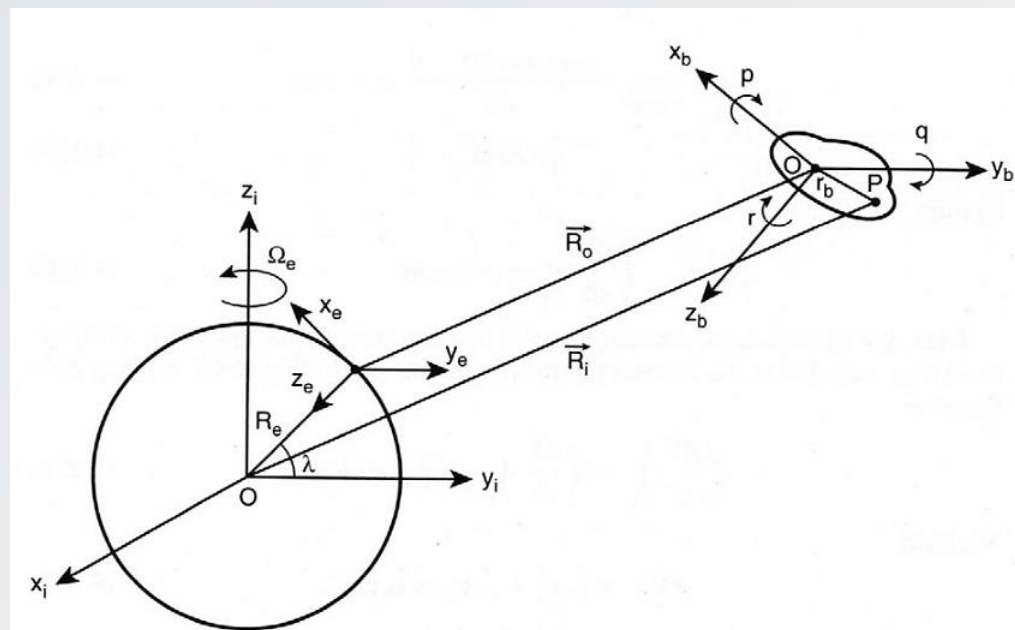
$$M = \left(\frac{dH}{dt} \right)_i$$

质量为 δm 的质点 P 关于惯性空间的动量矩

$$\delta \mathbf{h}_i = \mathbf{R}_i \times \delta m \mathbf{V}_i$$



$$\begin{aligned} \frac{d(\delta \mathbf{h}_i)}{dt} &= \dot{\mathbf{R}}_i \times \delta m \mathbf{V}_i + \mathbf{R}_i \times \delta m \dot{\mathbf{V}}_i \\ &= \mathbf{R}_i \times \delta m \dot{\mathbf{V}}_i = \mathbf{R}_i \times \delta \mathbf{F}_i \\ &= \delta \mathbf{G}_i \end{aligned}$$



则全机动量矩为

$$\begin{aligned} \mathbf{G}_i &= \Sigma \delta \mathbf{G}_i = \Sigma \mathbf{R}_i \times \delta \mathbf{F}_i \\ &= \Sigma \frac{d}{dt} (\delta \mathbf{h}_i) = \frac{d}{dt} \Sigma \delta \mathbf{h}_i \\ &= \frac{d\mathbf{H}_i}{dt} \end{aligned}$$

$$\Sigma \mathbf{R}_i \times \delta \mathbf{F}_i = \frac{d}{dt} \Sigma \delta \mathbf{h}_i = \frac{d}{dt} \Sigma \mathbf{R}_i \times \delta m \mathbf{V}_i$$

$$\mathbf{R}_i = \mathbf{R}_0 + \mathbf{r}_b$$

$$\Rightarrow \Sigma (\mathbf{R}_0 + \mathbf{r}_b) \times \delta \mathbf{F}_i = \frac{d}{dt} \Sigma (\mathbf{R}_0 + \mathbf{r}_b) \times \delta m \mathbf{V}_i$$

$$\Rightarrow \mathbf{R}_0 \times \Sigma \delta \mathbf{F}_i + \mathbf{r}_b \times \Sigma \delta \mathbf{F}_i = \frac{d}{dt} (\Sigma \mathbf{R}_0 \times \delta m \mathbf{V}_i) + \frac{d}{dt} \Sigma \mathbf{r}_b \times \delta m \mathbf{V}_i$$

$$\Rightarrow \mathbf{R}_0 \times \Sigma \delta \mathbf{F}_i + \mathbf{r}_b \times \Sigma \delta \mathbf{F}_i = \dot{\mathbf{R}}_0 \times \Sigma \delta m \mathbf{V}_i + \mathbf{R}_0 \times \Sigma \delta m \dot{\mathbf{V}}_i + \frac{d}{dt} \Sigma \mathbf{r}_b \times \delta m \mathbf{V}_i$$

$$\mathbf{V}_i = \dot{\mathbf{R}}_0 + \dot{\mathbf{r}}_b$$

\mathbf{G}_b

$$\Rightarrow \mathbf{R}_0 \times \Sigma \delta \mathbf{F}_i + \mathbf{r}_b \times \Sigma \delta \mathbf{F}_i = \dot{\mathbf{R}}_0 \times \Sigma \delta m \dot{\mathbf{R}}_0 + \dot{\mathbf{R}}_0 \times \Sigma \delta m \dot{\mathbf{r}}_b + \mathbf{R}_0 \times \Sigma \delta m \dot{\mathbf{V}}_i + \frac{d}{dt} \Sigma \mathbf{r}_b \times \delta m \mathbf{V}_i$$

$$\dot{\mathbf{R}}_0 \times \dot{\mathbf{R}}_0 = 0$$

刚体, $\dot{\mathbf{r}}_b = 0$

$$\mathbf{F}_i = m \dot{\mathbf{V}}_i$$

\mathbf{H}_b

$$\Rightarrow \mathbf{G}_b = \left(\frac{d\mathbf{H}_b}{dt} \right)_i$$

$$\mathbf{G}_b = \left(\frac{d\mathbf{H}_b}{dt} \right)_i \stackrel{\text{移轴定理}}{=} \left(\frac{d\mathbf{H}_b}{dt} \right)_b + \boldsymbol{\omega}_{i,b}^b \times \mathbf{H}_b$$

$$\begin{aligned} \mathbf{G}_b = & \hat{i}_b (\dot{H}_{xb} + qH_{zb} - rH_{yb}) \\ \Rightarrow & + \hat{j}_b (\dot{H}_{yb} + rH_{xb} - pH_{zb}) \\ & + \hat{k}_b (\dot{H}_{zb} + pH_{yb} - qH_{xb}) \end{aligned}$$

$$\mathbf{H}_b = \Sigma \mathbf{r}_b \times \delta m \mathbf{V}_i = \Sigma \mathbf{r}_b \times \delta m (\dot{\mathbf{R}}_0 + \dot{\mathbf{r}}_b)$$

移轴定理

刚体=0

$$\begin{aligned} &= \Sigma \mathbf{r}_b \times \delta m [(\dot{\mathbf{R}}_0 + \dot{\mathbf{r}}_b)_b + \boldsymbol{\omega}_{ib}^b \times (\mathbf{R}_0 + \mathbf{r}_b)] \\ &= (\Sigma \delta m \mathbf{r}_b) \times (\dot{\mathbf{R}}_0)_b + (\Sigma \delta m \mathbf{r}_b) \times \boldsymbol{\omega}_{ib}^b \times \mathbf{R}_0 + \Sigma (\delta m \mathbf{r}_b \times \boldsymbol{\omega}_{ib}^b \times \mathbf{r}_b) \end{aligned}$$

原点为重心, =0

$$\Rightarrow \mathbf{H}_b = \Sigma (\delta m \mathbf{r}_b \times \boldsymbol{\omega}_{ib}^b \times \mathbf{r}_b)$$

$$\mathbf{H}_b = \Sigma(\delta m \mathbf{r}_b \times \boldsymbol{\omega}_{ib}^b \times \mathbf{r}_b)$$

$$= \Sigma[\boldsymbol{\omega}_{ib}^i(\mathbf{r}_b \cdot \mathbf{r}_b) - \mathbf{r}_b(\boldsymbol{\omega}_{ib}^i \cdot \mathbf{r}_b)]\delta m$$

$$= \hat{i}_b \left[\Sigma p \delta m (x_b^2 + y_b^2 + z_b^2) - \Sigma \delta m (px_b^2 + qx_b y_b + rx_b z_b) \right] \\ + \hat{j}_b \left[\Sigma q \delta m (x_b^2 + y_b^2 + z_b^2) - \Sigma \delta m (px_b y_b + qy_b^2 + ry_b z_b) \right] \\ + \hat{k}_b \left[\Sigma r \delta m (x_b^2 + y_b^2 + z_b^2) - \Sigma \delta m (px_b z_b + qy_b z_b + rz_b^2) \right]$$

$$= \hat{i}_b \left[pI_x - qI_{xy} - rI_{xz} \right] \\ + \hat{j}_b \left[qI_y - rI_{yz} - pI_{yx} \right] \\ + \hat{k}_b \left[rI_z - pI_{xz} - qI_{zy} \right]$$

$$\mathbf{G}_b = \hat{i}_b L + \hat{j}_b M + \hat{k}_b N$$

$$\begin{aligned}
\mathbf{G}_b &= \hat{i}_b(\dot{H}_{xb} + qH_{zb} - rH_{yb}) & H_{xb} &= pI_x - qI_{xy} - rI_{xz} \\
&+ \hat{j}_b(\dot{H}_{yb} + rH_{xb} - pH_{zb}) & H_{yb} &= qI_y - rI_{yz} - pI_{yx} \\
&+ \hat{k}_b(\dot{H}_{zb} + pH_{yb} - qH_{xb}) & H_{zb} &= rI_z - pI_{xz} - qI_{zy}
\end{aligned}$$



$$\begin{aligned}
L &= \dot{p}I_x - \dot{q}I_{yx} - \dot{r}I_{xz} + qr(I_z - I_y) - pqI_{zx} + (r^2 - q^2)I_{yz} + prI_{yx} \\
M &= \dot{q}I_y - \dot{r}I_{yz} - \dot{p}I_{yx} + rp(I_x - I_z) - qrI_{xy} + (p^2 - r^2)I_{zx} + pqI_{zy} \\
N &= \dot{r}I_z - \dot{p}I_{zx} - \dot{q}I_{zy} + pq(I_y - I_x) - rpI_{yz} + (q^2 - p^2)I_{xy} + qrI_{xz}
\end{aligned}$$

对于有对称面的飞机, $I_{xy} = I_{yx} = I_{yz} = I_{zy} = 0$

$$\begin{aligned}
L &= \dot{p}I_x + qr(I_z - I_y) - I_{xz}(pq + \dot{r}) \\
\Rightarrow M &= \dot{q}I_y + rp(I_x - I_z) + I_{zx}(p^2 - r^2) \\
N &= \dot{r}I_z + pq(I_y - I_x) - I_{xz}(\dot{p} - qr)
\end{aligned}$$

角速度方程

欧拉角速率 $\dot{\phi}, \dot{\theta}, \dot{\psi}$ 无法直接测量。

能够测量的角速率是体轴系下的速率 p, q, r ，通过角速度陀螺测量。

角速度方程就是给定 p, q, r ，确定 $\dot{\phi}, \dot{\theta}, \dot{\psi}$ 。

$$r = \dot{\psi}_b = L_1(\phi)L_2(\theta) \begin{bmatrix} 0 \\ 0 \\ \dot{\psi}_i \end{bmatrix} \quad q = \dot{\theta}_b = L_1(\phi) \begin{bmatrix} 0 \\ \dot{\theta}_i \\ 0 \end{bmatrix} \quad p = \dot{\phi}_b = \begin{bmatrix} \dot{\phi}_i \\ 0 \\ 0 \end{bmatrix}$$



$$\begin{bmatrix} p \\ q \\ r \end{bmatrix} = \begin{bmatrix} \cos\theta & 0 & -\sin\theta \\ \sin\phi\sin\theta & \cos\phi & \sin\phi\cos\theta \\ \cos\phi\sin\theta & -\sin\phi & \cos\phi\cos\theta \end{bmatrix} \begin{bmatrix} 0 \\ 0 \\ \dot{\psi} \end{bmatrix} + \begin{bmatrix} 1 & 0 & 0 \\ 0 & \cos\phi & \sin\phi \\ 0 & -\sin\phi & \cos\phi \end{bmatrix} \begin{bmatrix} 0 \\ \dot{\theta} \\ 0 \end{bmatrix} + \begin{bmatrix} \dot{\phi} \\ 0 \\ 0 \end{bmatrix}$$



$$\begin{bmatrix} p \\ q \\ r \end{bmatrix} = \begin{bmatrix} 1 & 0 & -\sin\theta \\ 0 & \cos\phi & \sin\phi\cos\theta \\ 0 & -\sin\phi & \cos\phi\cos\theta \end{bmatrix} \begin{bmatrix} \dot{\phi} \\ \dot{\theta} \\ \dot{\psi} \end{bmatrix}$$

只有在俯仰角及
滚转角均接近0
时 $p = \dot{\phi}$, $q = \dot{\theta}$
and $r = \dot{\psi}$ 才成立。

L_ω



$$\begin{bmatrix} \dot{\phi} \\ \dot{\theta} \\ \dot{\psi} \end{bmatrix} = L_\omega^{-1} \begin{bmatrix} p \\ q \\ r \end{bmatrix} \quad L_\omega^{-1} = \begin{bmatrix} 1 & \tan\theta\sin\phi & \cos\phi\sin\theta \\ 0 & \cos\phi & -\sin\phi \\ 0 & \sec\theta\sin\phi & \sec\theta\cos\phi \end{bmatrix}$$



$$\begin{bmatrix} \dot{\phi} \\ \dot{\theta} \\ \dot{\psi} \end{bmatrix} = \begin{bmatrix} 1 & \tan\theta\sin\phi & \cos\phi\sin\theta \\ 0 & \cos\phi & -\sin\phi \\ 0 & \sec\theta\sin\phi & \sec\theta\cos\phi \end{bmatrix} \begin{bmatrix} p \\ q \\ r \end{bmatrix}$$

$$\dot{\phi} = p + \tan\theta(q\sin\phi + r\cos\phi)$$

$$\dot{\theta} = q\cos\phi - r\sin\phi$$

$$\dot{\psi} = \sec\theta(q\sin\phi + r\cos\phi)$$

速度方程 给定 u, v, w , 确定位移变化率

$$\begin{bmatrix} \dot{x}_b \\ \dot{y}_b \\ \dot{z}_b \end{bmatrix} = T_e^b \begin{bmatrix} \dot{x}_E \\ \dot{y}_E \\ \dot{z}_E \end{bmatrix} \quad \Rightarrow \quad \begin{bmatrix} \dot{x}_E \\ \dot{y}_E \\ \dot{z}_E \end{bmatrix} = T_b^e \begin{bmatrix} \dot{x}_b \\ \dot{y}_b \\ \dot{z}_b \end{bmatrix} = T_b^e \begin{bmatrix} u \\ v \\ w \end{bmatrix}$$

$$T_e^b = \begin{bmatrix} \cos\theta\cos\psi & \cos\theta\sin\psi & -\sin\theta \\ -\cos\phi\sin\psi + \sin\phi\sin\theta\cos\psi & \cos\phi\cos\psi + \sin\phi\sin\theta\sin\psi & \sin\phi\cos\theta \\ \sin\phi\sin\psi + \cos\phi\sin\theta\cos\psi & -\sin\phi\cos\psi + \cos\phi\sin\theta\sin\psi & \cos\phi\cos\theta \end{bmatrix}$$



$$\dot{x}_E = u\cos\theta\cos\psi + v(\sin\phi\sin\theta\cos\psi - \cos\phi\sin\psi) + w(\cos\phi\sin\theta\cos\psi + \sin\phi\sin\psi)$$

$$\dot{y}_E = u\cos\theta\sin\psi + v(\sin\phi\sin\theta\sin\psi + \cos\phi\cos\psi) + w(\cos\phi\sin\theta\sin\psi - \sin\phi\cos\psi)$$

$$\dot{z}_E = -u\sin\psi + v\sin\phi\cos\theta + w\cos\phi\cos\theta$$

全量运动方程

力方程

$$F_x = m(\dot{u} + qw - rv)$$

$$F_y = m(\dot{v} + ru - pw)$$

$$F_z = m(\dot{w} + pv - qu)$$

力矩方程

$$L = I_x \dot{p} - I_{zx}(\dot{r} + pq) - (I_y - I_z)qr$$

$$M = I_y \dot{q} - I_{zx}(r^2 - p^2) - (I_z - I_x)rp$$

$$N = I_z \dot{r} - I_{zx}(\dot{p} - qr) - (I_x - I_y)pq$$

角速度方程

$$\dot{\phi} = p + \tan\theta(q\sin\phi + r\cos\phi)$$

$$\dot{\theta} = q\cos\phi - r\sin\phi$$

$$\dot{\psi} = \sec\theta(q\sin\phi + r\cos\phi)$$

12个方程

18个未知数

速度方程

$$\begin{aligned}\dot{x}_E &= u\cos\theta\cos\psi + v(\sin\phi\sin\theta\cos\psi - \cos\phi\sin\psi) \\ &\quad + w(\cos\phi\sin\theta\cos\psi + \sin\phi\sin\psi)\end{aligned}$$

$$\begin{aligned}\dot{y}_E &= u\cos\theta\sin\psi + v(\sin\phi\sin\theta\sin\psi + \cos\phi\cos\psi) \\ &\quad + w(\cos\phi\sin\theta\sin\psi - \sin\phi\cos\psi)\end{aligned}$$

$$\dot{z}_E = -u\sin\psi + v\sin\phi\cos\theta + w\cos\phi\cos\theta$$

无穷多解

x, y, ψ 不影响运动方程, 可忽略相关的方程和变量

9 个方程, 15 个未知数 仍有无穷多解

再加入与操纵面偏角和发动机油门相关的力/力矩

6 个气动力/力矩方程

$$\begin{bmatrix} F_x, F_y, F_z \\ L, M, N \end{bmatrix} = f \left(\begin{array}{l} u, v, w, p, q, r, \theta, \phi, z_E, \\ \delta_a, \delta_e, \delta_r, \delta_p \end{array} \right)$$

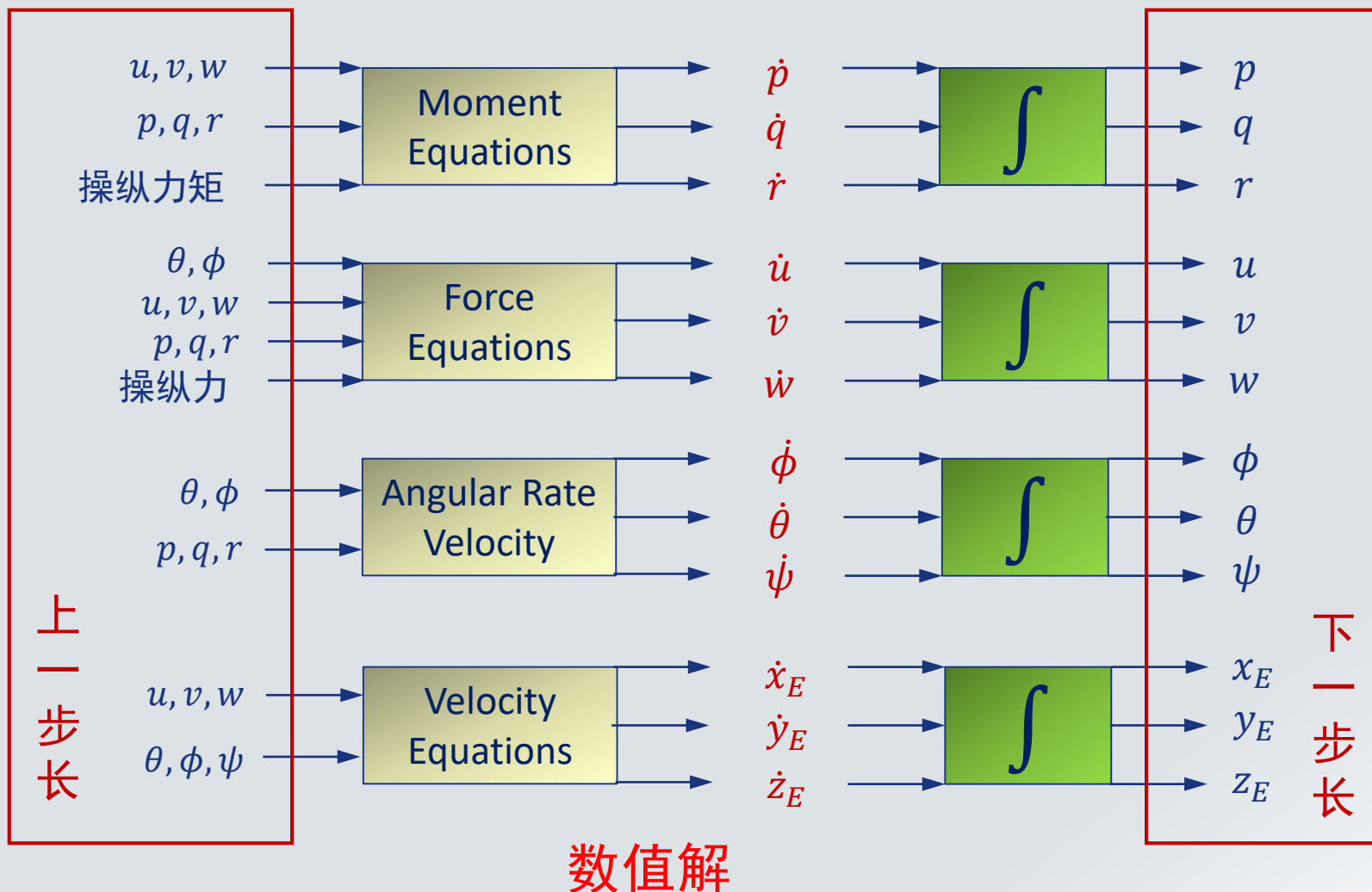
4 个未知数

$$\begin{array}{l} F_x, F_y, F_z, L, M, N \\ u, v, w, p, q, r \\ z_E, \theta, \phi, \delta_a, \delta_e, \delta_r, \delta_p \end{array}$$

15 个方程, 19 个未知数

仍有无穷多解

若操纵向量 $u = [\delta_a \ \delta_e \ \delta_r \ \delta_p]^T$ 给定，则方程有唯一解：



运动方程的解有两种：

- **自由响应**， $x_0 \neq 0, u = 0$ 时的响应(解)，反映的是系统瞬态特性和动稳定性。
- **强迫响应**， $x_0 = 0, u \neq 0$ 时的响应(解)，反映的是飞机的稳态响应特性。

飞机的运动方程是耦合且非线性的，很难获得对于飞机设计和评估来说很必要的解析解。

需要对运动方程进行线化和解耦。

2.3 运动方程的线化

飞机的全量运动方程耦合且非线性，很难获得对于飞机设计和评估来说很必要的解析解。可基于小扰动理论对其进行线化和解耦。

小扰动假设

飞机受扰动后，所有参数=基准状态量+小扰动量。

- 小扰动理论已被证明能在实际使用中
得到很好地结果，对于工程应用来说
具有足够的精度。
- 不适合急剧机动等大扰动问题

小扰动符号

所有变量的基准量用下标0表示，小扰动量用前缀 Δ 表示。

$$u = u_0 + \Delta u, \quad v = v_0 + \Delta v, \quad w = w_0 + \Delta w$$

$$p = p_0 + \Delta p, \quad q = q_0 + \Delta q, \quad r = r_0 + \Delta r$$

$$\phi = \phi_0 + \Delta\phi, \quad \theta = \theta_0 + \Delta\theta, \quad \psi = \psi_0 + \Delta\psi$$

$$F_x = F_{x0} + \Delta F_x, \quad F_y = F_{y0} + \Delta F_y, \quad F_z = F_{z0} + \Delta F_z$$

$$L = L_0 + \Delta L, \quad M = M_0 + \Delta M, \quad N = N_0 + \Delta N$$

如果基准量为0，则前缀 Δ 可省略

$$u = u_0 + \Delta u, \quad v = \Delta v, \quad w = \Delta w$$

$$p = \Delta p, \quad q = \Delta q, \quad r = \Delta r$$

$$\phi = \Delta\phi, \quad \theta = \theta_0 + \Delta\theta, \quad \psi = \Delta\psi$$

$$F_x = \Delta F_x, \quad F_y = \Delta F_y, \quad F_z = \Delta F_z$$

$$L = \Delta L, \quad M = \Delta M, \quad N = \Delta N$$

将参数代入运动方程，并仅保留一阶小量，则可得到简化的运动方程

力方程

$$\begin{aligned}X_0 + \Delta X - mg(\sin\theta_0 + \Delta\theta\cos\theta_0) &= m\Delta\dot{u} \\Y_0 + \Delta Y - mg\phi\cos\theta_0 &= m(\dot{v} + u_0r) \\Z_0 + \Delta Z - mg(\cos\theta_0 - \Delta\theta\sin\theta_0) &= m(\dot{w} - u_0q)\end{aligned}$$

力矩方程

$$\begin{aligned}L_0 + \Delta L &= I_x\dot{p} - I_{zx}\dot{r} \\M_0 + \Delta M &= I_y\dot{q} \\N_0 + \Delta N &= -I_{zx}\dot{p} + I_z\dot{r}\end{aligned}$$

角速度方程

$$\begin{aligned}\Delta\dot{\theta} &= q \\\dot{\phi} &= p + r\tan\theta_0 \\\dot{\psi} &= r\sec\theta_0\end{aligned}$$

速度方程

$$\begin{aligned}\dot{x}_E &= (u_0 + \Delta u)\cos\theta_0 - u_0\Delta\theta\sin\theta_0 + w\sin\theta_0 \\\dot{y}_E &= u_0\psi\cos\theta_0 + v \\\dot{z}_E &= -(u_0 + \Delta u)\sin\theta_0 - u_0\Delta\theta\cos\theta_0 + w\cos\theta_0\end{aligned}$$

代入基准状态



$$\begin{array}{lll} X_0 - mg\sin\theta_0 = 0 & L_0 = 0 & \dot{x}_{E0} = u_0\cos\theta_0 \\ Y_0 = 0 & M_0 = 0 & \dot{y}_{E0} = 0 \\ Z_0 + mg\cos\theta_0 = 0 & N_0 = 0 & \dot{z}_{E0} = -u_0\sin\theta_0 \end{array}$$

力方程

$$\Delta\dot{u} = \Delta X/m - g\Delta\theta\cos\theta_0$$

$$\dot{v} = \Delta Y/m + g\phi\cos\theta_0 - u_0r$$

$$\dot{w} = \Delta Z/m - g\Delta\theta\sin\theta_0 + u_0q$$

力矩方程

$$\dot{p} = (I_x\Delta L + I_{zx}\Delta L)/(I_xI_z - I_{zx}^2)$$

$$\dot{q} = \Delta M/I_y$$

$$\dot{r} = (I_x\Delta N + I_{zx}\Delta N)/(I_xI_z - I_{zx}^2)$$

角速度方程

$$\Delta\dot{\theta} = q$$

$$\dot{\phi} = p + r\tan\theta_0$$

$$\dot{\psi} = r\sec\theta_0$$

速度方程

$$\Delta\dot{x}_E = \Delta u\cos\theta_0 - u_0\Delta\theta\sin\theta_0 + w\sin\theta_0$$

$$\Delta\dot{y}_E = u_0\psi\cos\theta_0 + v$$

$$\Delta\dot{z}_E = -\Delta u\sin\theta_0 - u_0\Delta\theta\cos\theta_0 + w\cos\theta_0$$

气动力/力矩的估算

假设条件:

- 作用在飞机上的瞬时气动力/力矩仅与当时瞬时的运动参数有关;
- 气动力/力矩随运动参数线性变化;
- 纵向气动力与力矩 (F_x, F_z, M) 仅与纵向变量 (u, α, q) 相关;
- 横航向气动力与力矩 (F_y, L, N) 仅与横航向变量 (β, p, r) 相关

这些假设仅适用于小 α/β .

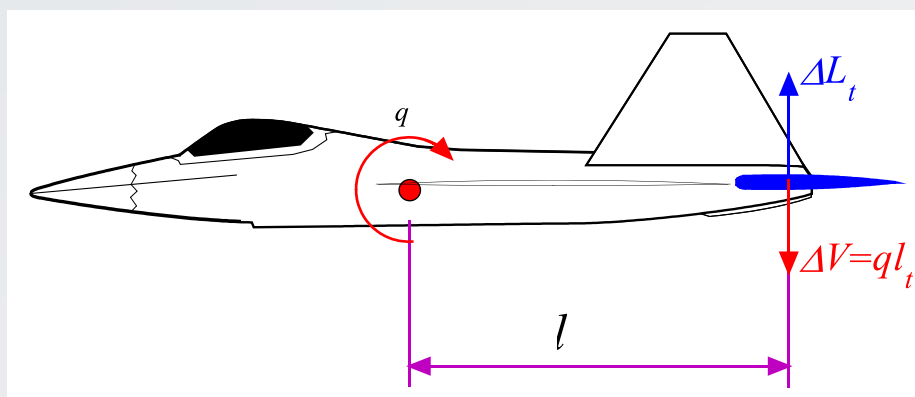
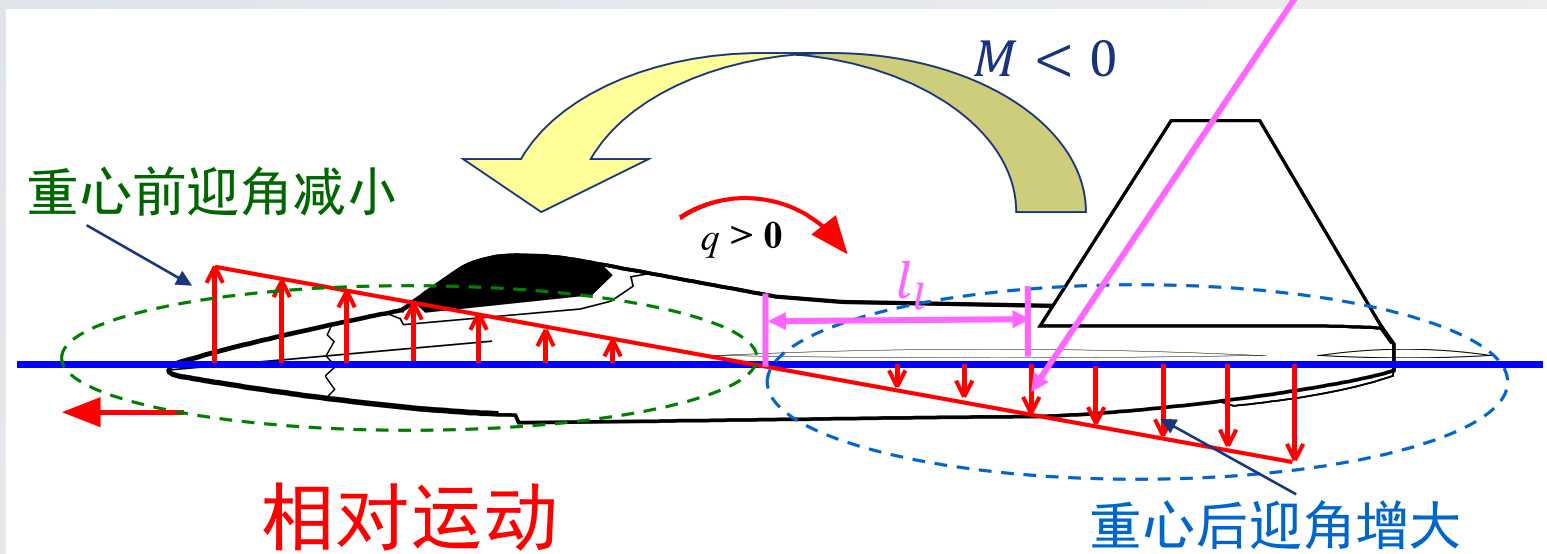
当 α/β 较高时, 气动力/力矩随 α/β 非线性变化.

可使用泰勒级数来表示扰动条件下的气动力与力矩系数

$$\begin{aligned}
 \Delta C_x &= \frac{\partial C_x}{\partial u} u + \frac{\partial C_x}{\partial \alpha} \Delta \alpha + \frac{\partial C_x}{\partial \theta} \Delta \theta + \frac{\partial C_x}{\partial \dot{\alpha}} \Delta \dot{\alpha} + \frac{\partial C_x}{\partial q} \Delta q + \frac{\partial C_x}{\partial \delta_e} \Delta \delta_e + \frac{\partial C_x}{\partial \delta_t} \Delta \delta_t + \dots \\
 \Delta C_z &= \frac{\partial C_z}{\partial u} u + \frac{\partial C_z}{\partial \alpha} \Delta \alpha + \frac{\partial C_z}{\partial \theta} \Delta \theta + \frac{\partial C_z}{\partial \dot{\alpha}} \Delta \dot{\alpha} + \frac{\partial C_z}{\partial q} \Delta q + \frac{\partial C_z}{\partial \delta_e} \Delta \delta_e + \frac{\partial C_z}{\partial \delta_t} \Delta \delta_t + \dots \\
 \Delta C_m &= \frac{\partial C_m}{\partial u} u + \frac{\partial C_m}{\partial \alpha} \Delta \alpha + \frac{\partial C_m}{\partial \theta} \Delta \theta + \frac{\partial C_m}{\partial \dot{\alpha}} \Delta \dot{\alpha} + \frac{\partial C_m}{\partial q} \Delta q + \frac{\partial C_m}{\partial \delta_e} \Delta \delta_e + \frac{\partial C_m}{\partial \delta_t} \Delta \delta_t + \dots \\
 \Delta C_l &= \frac{\partial C_l}{\partial \beta} \Delta \beta + \frac{\partial C_l}{\partial \dot{\beta}} \Delta \dot{\beta} + \frac{\partial C_l}{\partial \phi} \Delta \phi + \frac{\partial C_l}{\partial p} \Delta p + \frac{\partial C_l}{\partial r} \Delta r + \frac{\partial C_l}{\partial \delta_a} \Delta \delta_a + \frac{\partial C_l}{\partial \delta_r} \Delta \delta_r + \dots \\
 \Delta C_n &= \frac{\partial C_n}{\partial \beta} \Delta \beta + \frac{\partial C_n}{\partial \dot{\beta}} \Delta \dot{\beta} + \frac{\partial C_n}{\partial \phi} \Delta \phi + \frac{\partial C_n}{\partial p} \Delta p + \frac{\partial C_n}{\partial r} \Delta r + \frac{\partial C_n}{\partial \delta_a} \Delta \delta_a + \frac{\partial C_n}{\partial \delta_r} \Delta \delta_r + \dots \\
 \Delta C_y &= \frac{\partial C_y}{\partial \beta} \Delta \beta + \frac{\partial C_y}{\partial \dot{\beta}} \Delta \dot{\beta} + \frac{\partial C_y}{\partial \phi} \Delta \phi + \frac{\partial C_y}{\partial p} \Delta p + \frac{\partial C_y}{\partial r} \Delta r + \frac{\partial C_y}{\partial \delta_a} \Delta \delta_a + \frac{\partial C_y}{\partial \delta_r} \Delta \delta_r + \dots
 \end{aligned}$$

静导数
动导数
操纵导数

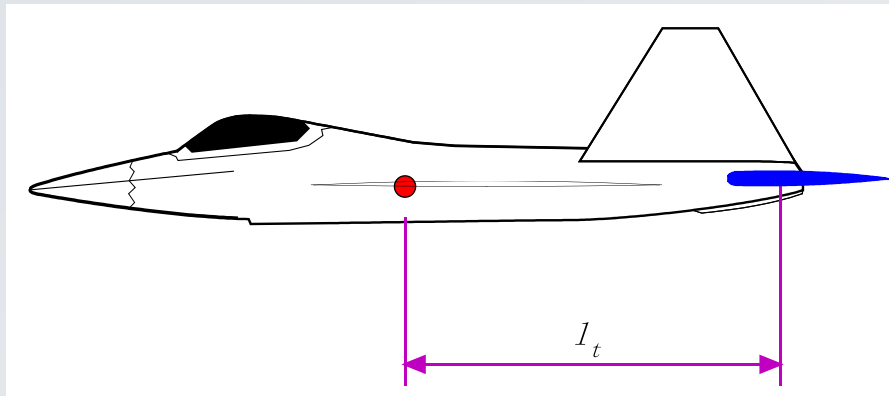
动导数机理-- C_{mq} , C_{Lq}



阻尼导数主要由机翼和平尾产生

- 机翼，力臂短，且前后部分抵消，贡献占约10%
- 尾翼，力臂长，贡献占约90%
- $C_{mq} < 0, C_{Lq} > 0$

动导数机理-- $C_{m\dot{\alpha}}$, $C_{L\dot{\alpha}}$



相同机翼迎角下，相比于静态：

- 正 $\dot{\alpha}$ 相当于下洗角减小，平尾升力增加、有低头力矩增量；
- 负 $\dot{\alpha}$ 相当于下洗角增加，平尾升力减小、有抬头力矩增量

$$C_{m\dot{\alpha}} < 0, \quad C_{L\dot{\alpha}} > 0$$

机翼迎角变化带来的平尾下洗角变化需要一定的时间

$$\tau = l_t / V_t$$

忽略升降舵影响，飞机以 $V, q = 0, \dot{\alpha}$ 飞行时，平尾瞬时迎角为

$$(\alpha_t)_{t_0} = (\alpha)_{t_0} + \dot{\alpha} \cdot \tau - (\varepsilon)_{t_0 - \tau}$$

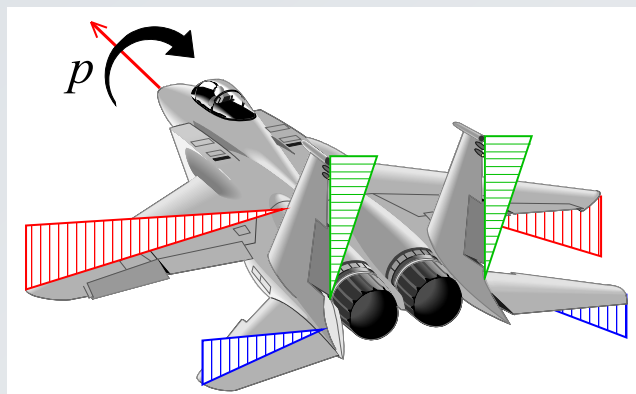
这段时间机翼的迎角变化了

$$\Delta\alpha = \dot{\alpha} \cdot \tau = \dot{\alpha} \cdot l_t / V_t$$

带来的平尾下洗角变化为

$$\Delta\varepsilon = \frac{\partial\varepsilon}{\partial\alpha} (-\Delta\alpha) = -\frac{\partial\varepsilon}{\partial\alpha} \dot{\alpha} \cdot \frac{l_t}{V_t}$$

横航向动导数



p 改变左右机翼/
平尾的局部迎角

升力不平衡

滚转力矩

C_{lp}

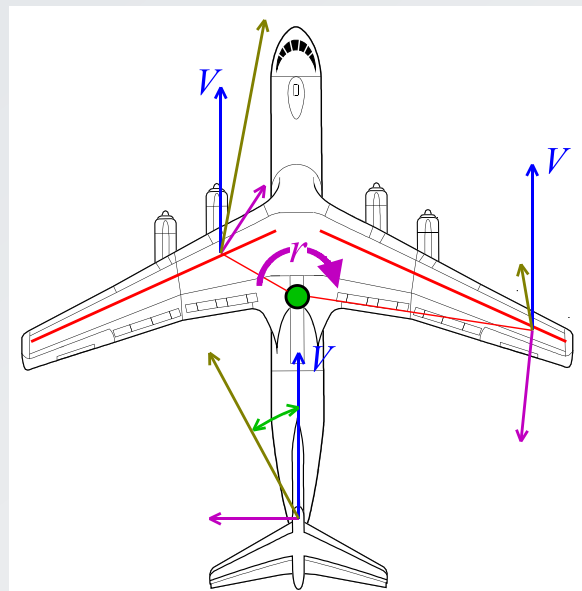
滚转阻尼导数

阻力不平衡

偏航力矩

C_{np}

交叉阻尼导数



r 改变垂尾侧滑角

改变垂尾侧力

偏航力矩(x 轴)

C_{nr}

偏航阻尼导数

滚转力矩(z 轴)

C_{lr}

交叉阻尼导数

由此可得到气动力/力矩的线化表达式

纵向

$$\Delta X = X_u \Delta u + X_w w + \Delta X_c$$

$$\Delta Y = Y_v v + Y_p p + Y_r r + \Delta Y_c$$

$$\Delta Z = Z_u \Delta u + Z_w w + Z_{\dot{w}} \dot{w} + Z_q q + \Delta Z_c$$

$$\Delta L = L_v v + L_p p + L_r r + \Delta L_c$$

$$\Delta M = M_u \Delta u + M_w w + M_{\dot{w}} \dot{w} + M_q q + \Delta M_c$$

$$\Delta N = N_v v + N_p p + N_r r + \Delta N_c$$

方程可分为两组：

- 纵向
- 横航向，横向与航向永远耦合

纵向方程

$$\begin{bmatrix} \dot{u} \\ \dot{\alpha} \\ \dot{q} \\ \Delta \dot{\theta} \end{bmatrix} = \begin{bmatrix} \frac{C_{xu} + \xi_1 C_{zu}}{m_1} & \frac{C_{x\alpha} + \xi_1 C_{z\alpha}}{m_1} & \frac{C_{xq} + \xi_1 (m_1 + C_{zq} c_1)}{m_1} & \frac{C_{x\theta} + \xi_1 C_{z\theta}}{m_1} \\ \frac{C_{zu}}{m_1} & \frac{C_{z\alpha}}{m_1} & \frac{m_1 + C_{zq} c_1}{m_1} & \frac{C_{z\theta}}{m_1} \\ \frac{C_{mu} + \xi_2 C_{zu}}{I_{y1}} & \frac{C_{m\alpha} + \xi_2 C_{z\alpha}}{I_{y1}} & \frac{C_{mq} c_1 + \xi_2 (m_1 + C_{zq} c_1)}{I_{y1}} & \frac{\xi_2 C_{z\theta}}{I_{y1}} \\ 0 & 0 & 1 & 0 \end{bmatrix} \begin{bmatrix} u \\ \alpha \\ q \\ \Delta \theta \end{bmatrix} + \begin{bmatrix} \frac{C_{x\delta_e} + \xi_1 C_{z\delta_e}}{m_1} \\ \frac{C_{z\delta_e}}{m_1} \\ \frac{C_{m\delta_e} + \xi_2 C_{z\delta_e}}{I_{y1}} \\ 0 \end{bmatrix} \delta_e$$

$$m_1 = \frac{2m}{\rho V S}, \quad c_1 = \frac{\bar{c}}{2V}, \quad I_{y1} = \frac{I_y}{q_c S \bar{c}}, \quad \xi_1 = \frac{C_{x\dot{\alpha}} c_1}{m_1}, \quad \xi_2 = \frac{C_{m\dot{\alpha}} c_1}{m_1}$$

$$\begin{aligned} C_{xu} &= -2C_D - C_{Du}, & C_{x\dot{\alpha}} &= -C_{D\dot{\alpha}}, & C_{z\dot{\alpha}} &= -C_{L\dot{\alpha}} \\ C_{x\alpha} &= C_L - C_{D\alpha}, & C_{xq} &= -C_{Dq} = 0, & C_{zq} &= -C_{Lq} = 0 \\ C_{x\theta} &= -C_L \cos \theta, & C_{z\alpha} &= -C_{L\alpha} - C_D, & C_{x\delta_e} &= -C_{D\delta_e} \\ C_{z\theta} &= -C_L \sin \theta, & C_{zu} &= -2C_L - C_{Lu}, & C_{z\delta_e} &= -C_{L\delta_e} \end{aligned}$$

横航向方程

$$\begin{bmatrix} \dot{\beta} \\ \dot{\phi} \\ \dot{p} \\ \dot{r} \end{bmatrix} = \begin{bmatrix} \frac{C_{y\beta}}{m_1} & \frac{C_{y\phi}}{m_1} & \frac{C_{yp}b_1}{m_1} & -\frac{m_1 - b_1C_{yr}}{m_1} \\ 0 & 0 & 1 & 0 \\ C_{l\beta}I'_{z1} + C_{n\beta}I'_{xz1} + b_1\xi_3a_{11} & \xi_3b_1a_{12} & b_1(C_{lp}I'_{z1} + C_{np}I'_{xz1} + \xi_3a_{13}) & b_1(C_{lr}I'_{z1} + C_{nr}I'_{xz1} + \xi_3a_{14}) \\ I'_{x1}C_{n\beta} + I'_{xz1}C_{l\beta} + b_1\xi_4a_{11} & \xi_4b_1a_{12} & b_1(C_{np}I'_{x1} + C_{lp}I'_{xz1} + \xi_4a_{13}) & b_1(I'_{x1}C_{nr} + I'_{xz1}C_{lr} + \xi_4a_{14}) \end{bmatrix} \begin{bmatrix} \beta \\ \phi \\ p \\ r \end{bmatrix} + \begin{bmatrix} \frac{C_{y\delta_a}}{m_1} & \frac{C_{y\delta_r}}{m_1} \\ 0 & 0 \\ C_{l\delta_a}I'_{z1} + C_{n\delta_a}I'_{xz1} + \xi_3b_1b_{11} & C_{l\delta_a}I'_{z1} + C_{n\delta_r}I'_{xz1} + \xi_3b_1b_{12} \\ C_{n\delta_a}I'_{x1} + C_{l\delta_a}I'_{xz1} + \xi_4b_1b_{11} & C_{n\delta_r}I'_{x1} + C_{l\delta_r}I'_{xz1} + \xi_4b_1b_{12} \end{bmatrix} \begin{bmatrix} \delta_a \\ \delta_r \end{bmatrix}$$

$$C_{y\phi} = \frac{Y_\phi}{qS} = \frac{G \cos \phi}{qS}, b_1 = \frac{b}{2U_0}$$

$$I'_{x1} = \frac{I_{x1}}{I_{x1}I_{z1} - I_{xz1}^2}, I'_{z1} = \frac{I_{z1}}{I_{x1}I_{z1} - I_{xz1}^2}, I'_{xz1} = \frac{I_{xz1}}{I_{x1}I_{z1} - I_{xz1}^2}$$

$$I_{x1} = \frac{I_x}{q_c S b}, I_{z1} = \frac{I_z}{q_c S b}, I_{xz1} = \frac{I_{xz}}{q_c S b}$$

$$\xi_3 = I'_{z1}C_{l\beta}, \xi_4 = I'_{x1}C_{n\beta}$$

纵向与横航向方程均为一阶状态空间方程形式

系统矩阵

操纵效能矩阵

$$\dot{\mathbf{x}} = \mathbf{A}\mathbf{x} + \mathbf{B}\mathbf{u}$$

矩阵A与B取决于
飞机的气动布局
与飞行状态

状态向量

控制向量

$$\mathbf{x}_{long} = [\Delta u \quad w \quad q \quad \Delta \theta]^T \quad \mathbf{u}_{long} = [\Delta \delta_e \quad \Delta \delta_p]^T$$

$$\mathbf{x}_{lat} = [v \quad p \quad r \quad \phi]^T \quad \mathbf{u}_{lat} = [\Delta \delta_a \quad \Delta \delta_r]^T$$

3.动稳定性

- 动稳定性
 - 运动方程的解
 - 特征根与动稳定性
 - 稳定性判据
- 模态特性
 - 纵向与横航向典型模态
 - 模态机理
 - 飞行品质要求

运动方程的解—特征根

动稳定性考虑的是扰动后飞机的时间响应，即 $x_0 \neq 0, u = 0$

对于一阶微分方程 $\dot{x} = Ax$ ，有通解 $x = x_0 e^{\lambda t}$

$$\Rightarrow \dot{x} = \lambda x_0 e^{\lambda t} \Rightarrow \lambda x_0 e^{\lambda t} = Ax_0 e^{\lambda t} \Rightarrow (\lambda I - A)x_0 e^{\lambda t} = 0$$

I , 单位矩阵

对于非零解

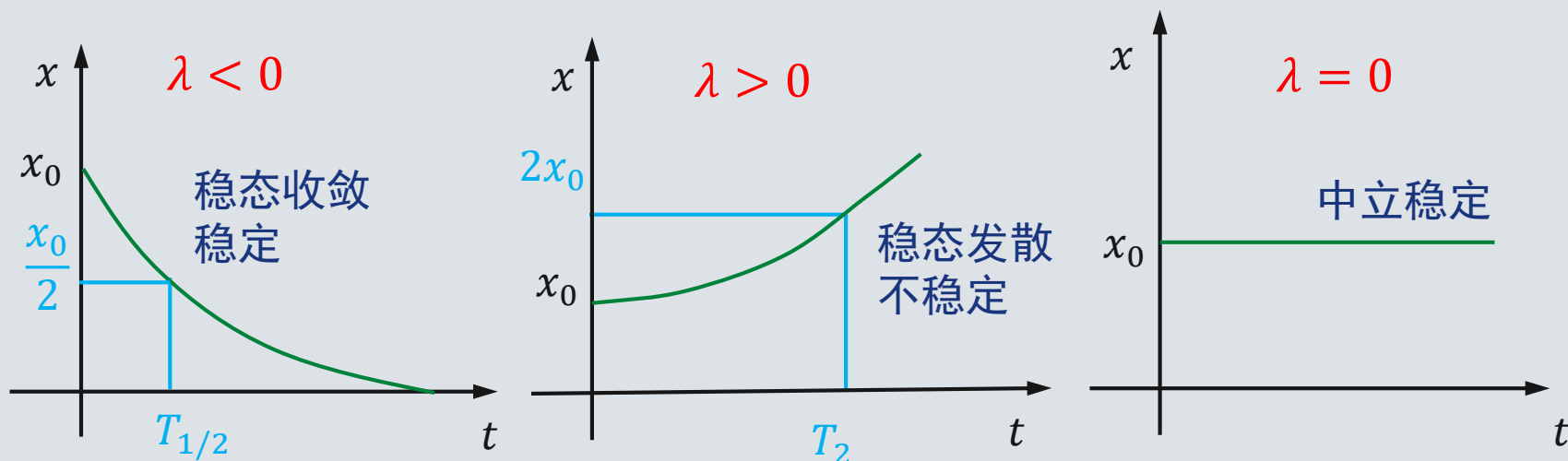
$$|\lambda I - A| = 0 \Rightarrow \begin{vmatrix} \lambda - a_{11} & -a_{12} & -a_{13} & -a_{14} \\ -a_{21} & \lambda - a_{22} & -a_{23} & -a_{24} \\ -a_{31} & -a_{32} & \lambda - a_{33} & -a_{34} \\ -a_{41} & -a_{42} & -a_{43} & \lambda - a_{44} \end{vmatrix} = 0$$

$$\Rightarrow A_{\delta}\lambda^4 + B_{\delta}\lambda^3 + C_{\delta}\lambda^2 + D_{\delta}\lambda + E_{\delta} = 0 \quad \text{特征方程}$$

特征方程的根被称为特征根(值)，动稳定性取决于特征根。

实根

$$x = x_0 e^{\lambda t}$$



当特征根为实根，可用倍幅时 T_2 或半衰时 $T_{1/2}$ 描述动稳定性。

$$x = x_0 e^{\lambda T_{1/2}} = \frac{x_0}{2} \Rightarrow T_{1/2} = -\frac{\ln 2}{\lambda}$$

$$x = x_0 e^{\lambda T_2} = 2x_0 \Rightarrow T_2 = \frac{\ln 2}{\lambda}$$

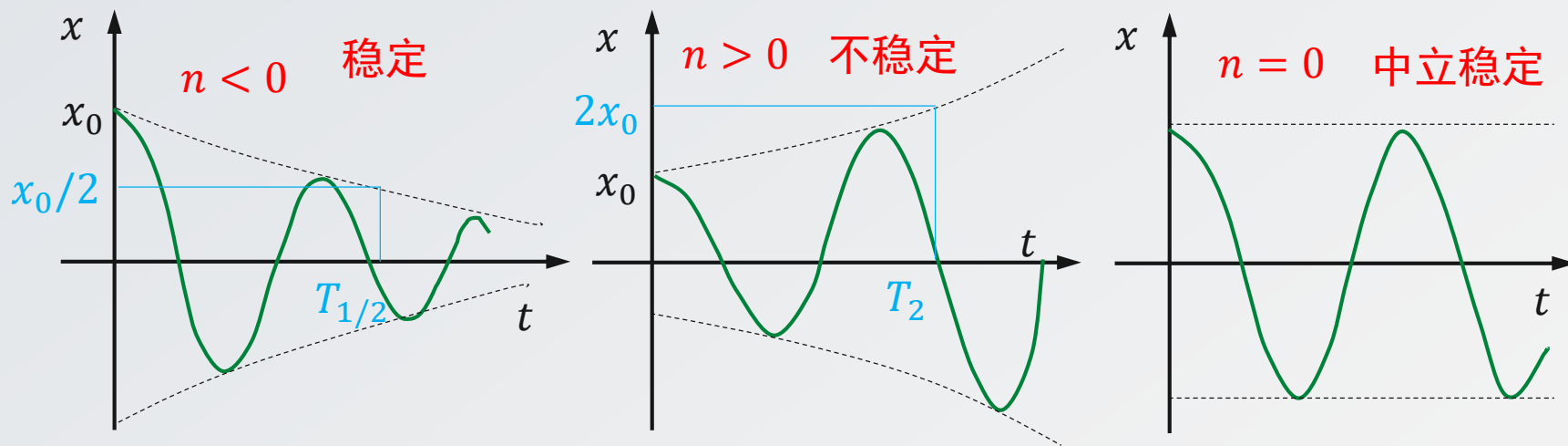
负实根动稳定

复根

$$\lambda_{1,2} = n \pm i\omega$$

$$x = a_1 e^{\lambda_1 t} + a_2 e^{\lambda_2 t} = a_1 e^{(n+i\omega)t} + a_2 e^{(n-i\omega)t} = 2e^{nt} (a \cos \omega t - b \sin \omega t)$$

$$= 2\sqrt{a^2 + b^2} e^{nt} \cos(\omega t + \phi)$$



对于复根，可用包线的倍幅时或半衰时描述动稳定性

$$x = x_0 e^{nT_{1/2}} = \frac{1}{2} x_0 \Rightarrow T_{1/2} = -\frac{\ln 2}{n}$$

$$x = x_0 e^{nT_2} = 2x_0 \Rightarrow T_2 = \frac{\ln 2}{n}$$

复根实部为负动稳定

稳定性判据

在不求解特征根的情况下判断飞机动稳定性。

飞机的特征方程(四阶)

$$\Delta(\lambda) = a_0\lambda^4 + a_1\lambda^3 + a_2\lambda^2 + a_3\lambda + a_4 = 0$$

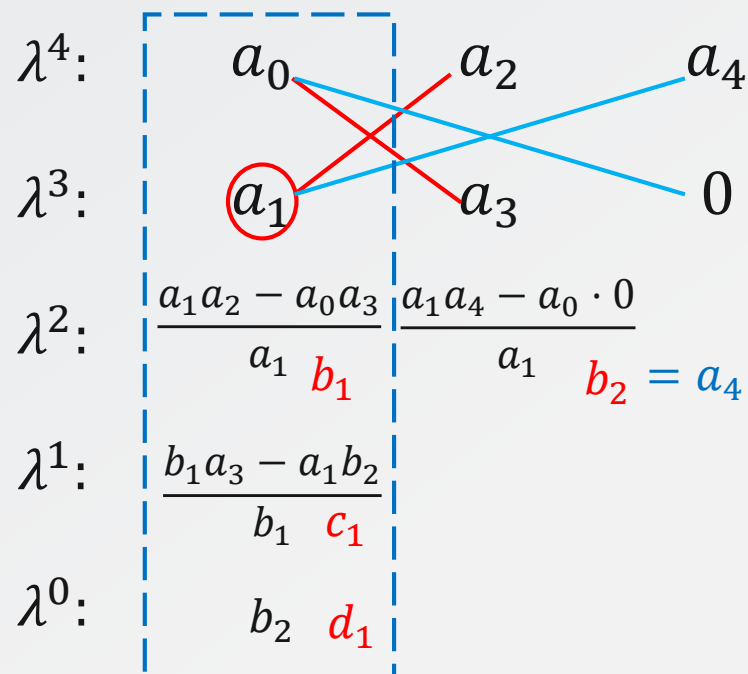
劳斯判据

必要条件

$$a_0, a_1, a_2, a_3, a_4 > 0$$

充分条件:

劳斯数列的第一列所有元素为正



Hurwitz判据

$$a_0 s^n + a_1 s^{n-1} + \dots + a_{n-1} s^1 + a_n s^0 = 0$$

| | | | | | | | | |
|------------|---------|---------|---------|---------|---------|---------|-----------|-----------|
| Δ_1 | a_1 | a_0 | 0 | 0 | 0 | 0 | \dots | 0 |
| Δ_2 | a_3 | a_2 | a_1 | a_0 | 0 | 0 | \dots | 0 |
| Δ_3 | a_5 | a_4 | a_3 | a_2 | a_1 | a_0 | \dots | 0 |
| Δ_4 | a_7 | a_6 | a_5 | a_4 | a_3 | a_2 | \dots | \dots |
| | \dots | \dots | \dots | \dots | \dots | \dots | \dots | \dots |
| | \dots | \dots | \dots | \dots | \dots | \dots | \dots | \dots |
| | 0 | \dots | 0 | 0 | 0 | a_n | a_{n-1} | a_{n-2} |
| Δ_n | 0 | \dots | 0 | 0 | 0 | 0 | 0 | a_n |

动稳定的充要条件： $a_0, \Delta_1 \sim \Delta_n$ 全部为正

对于四阶的飞机特征方程

$$\begin{vmatrix} a_1 & a_0 & 0 & 0 \\ a_3 & a_2 & a_1 & a_0 \\ 0 & a_4 & a_3 & a_2 \\ 0 & 0 & 0 & a_4 \end{vmatrix} \quad \begin{aligned} a_0 &> 0 & \Delta_1 &= a_1 > 0 \\ \Delta_2 &= \begin{vmatrix} a_1 & a_0 \\ a_3 & a_2 \end{vmatrix} = a_1 a_2 - a_0 a_3 > 0 \\ \Delta_3 &= \begin{vmatrix} a_1 & a_0 & 0 \\ a_3 & a_2 & a_1 \\ 0 & a_4 & a_3 \end{vmatrix} = a_1 a_2 a_3 - a_1^2 a_4 - a_0 a_3^2 > 0 \\ \Delta_4 &= \Delta_3 a_4 > 0 \end{aligned}$$

综合可得到Routh-Hurwitz判据

$$\begin{cases} a_0, a_1, a_2, a_3, a_4 > 0 \\ R = \Delta_3 = a_1 a_2 a_3 - a_1^2 a_4 - a_0 a_3^2 > 0 \end{cases}$$

状态空间方程的解

$$x = x_0 e^{\lambda t}$$

特征向量 特征值

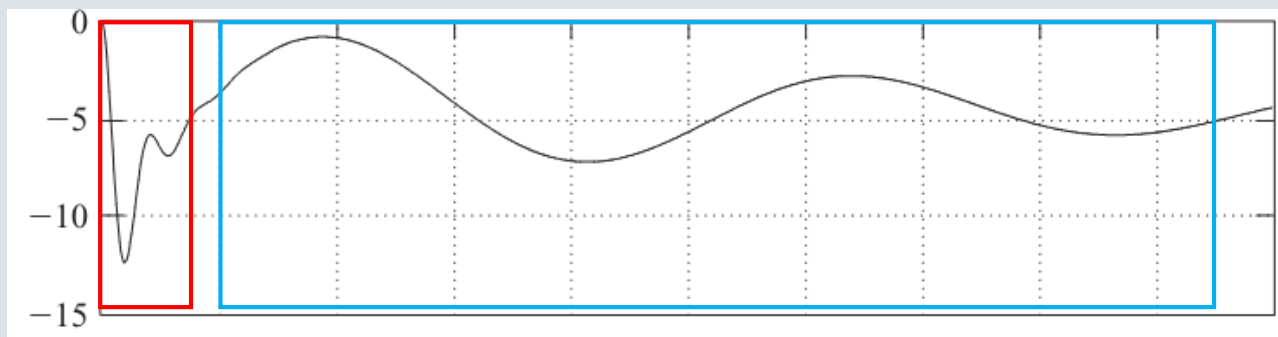
- 每一个实特征根 λ 对应一个实向量 x_0
- 每一对共轭复根 λ_i 与 λ_i^* 对应一对共轭特征向量 x_0 与 x_0^*

飞行力学中将特征值及相应的响应特性称为**模态**。

飞机的响应是每个模态之和

$$x(t) = \sum_i x_{0i} e^{\lambda_i t} = x_{01} e^{\lambda_1 t} + x_{02} e^{\lambda_2 t} + x_{03} e^{\lambda_3 t} + x_{04} e^{\lambda_4 t}$$

典型
纵向
响应



典型纵向特征根、模态

某通用飞机

$$A = \begin{bmatrix} -0.0453 & 0.0363 & 0 & -0.1859 \\ -0.3717 & -2.0354 & 0.9723 & 0 \\ 0.3398 & -7.0301 & -2.9767 & 0 \\ 0 & 0 & 1 & 0 \end{bmatrix} \Rightarrow \begin{aligned} \lambda_{1,2} &= -2.5118 \pm j2.5706 \\ \lambda_{3,4} &= -0.0169 \pm j0.2174 \end{aligned}$$

纵向特征方程有两对共轭复根，每一对描述一个纵向稳定性模态。

对于该通用飞机，两对共轭复根均具有负实部，表明飞机的自由响应由两个收敛振荡运动相互叠加而成。

$$\begin{aligned} \Rightarrow \zeta_{1,2} &= 0.6989, \omega_{1,2} = 3.5941 && \text{重阻尼、高频} \\ \zeta_{3,4} &= 0.0775, \omega_{3,4} = 0.2181 && \text{轻阻尼、低频} \end{aligned}$$

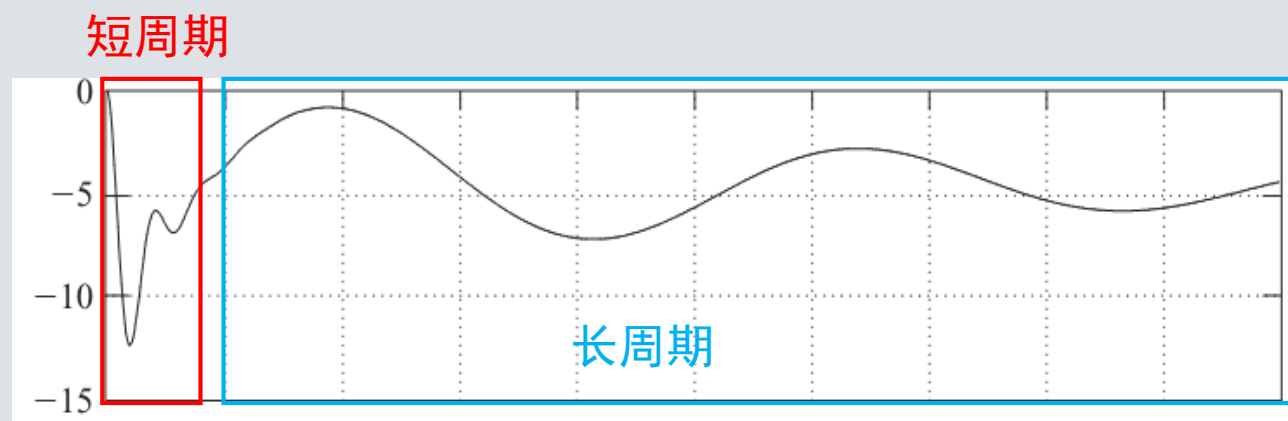
对应 $\lambda_{1,2}$ 的模态具有重阻尼及较高频率(即较短周期)
– 短周期模态

驾驶员无需对该模态采取任何措施，主要运动参数包括迎角、俯仰角及俯仰角速度。

对应 $\lambda_{3,4}$ 的模态具有轻阻尼及较低频率(即较长周期)
– 长周期模态(沉浮模态)

驾驶员可轻易通过纵向操纵消除此模态，主要运动参数包括俯仰角及速度。

静稳定飞机的纵向响应由两个不同的振荡模态组成。

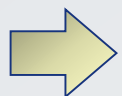


典型横航向特征根、模态

某通用飞机

$$\begin{bmatrix} \Delta \dot{\beta} \\ \Delta \dot{\phi} \\ \dot{p} \\ \dot{r} \end{bmatrix} = \begin{bmatrix} -0.2557 & 0.1820 & 0 & -1 \\ 0 & 0 & 1 & 0 \\ -0.2557 & 0 & -8.4481 & 2.2048 \\ 4.5440 & 0 & -0.3517 & -0.7647 \end{bmatrix} \begin{bmatrix} \Delta \beta \\ \Delta \phi \\ p \\ r \end{bmatrix} + \begin{bmatrix} 0 & 0.0712 \\ 0 & 0 \\ 29.3013 & 2.5764 \\ -0.2243 & -4.6477 \end{bmatrix} \begin{bmatrix} \Delta \delta_a \\ \Delta \delta_r \end{bmatrix}$$

$$\lambda_1 = -0.0087$$



$$\lambda_2 = -8.4804$$

$$\lambda_{3,4} = -0.4897 \pm i2.3468$$

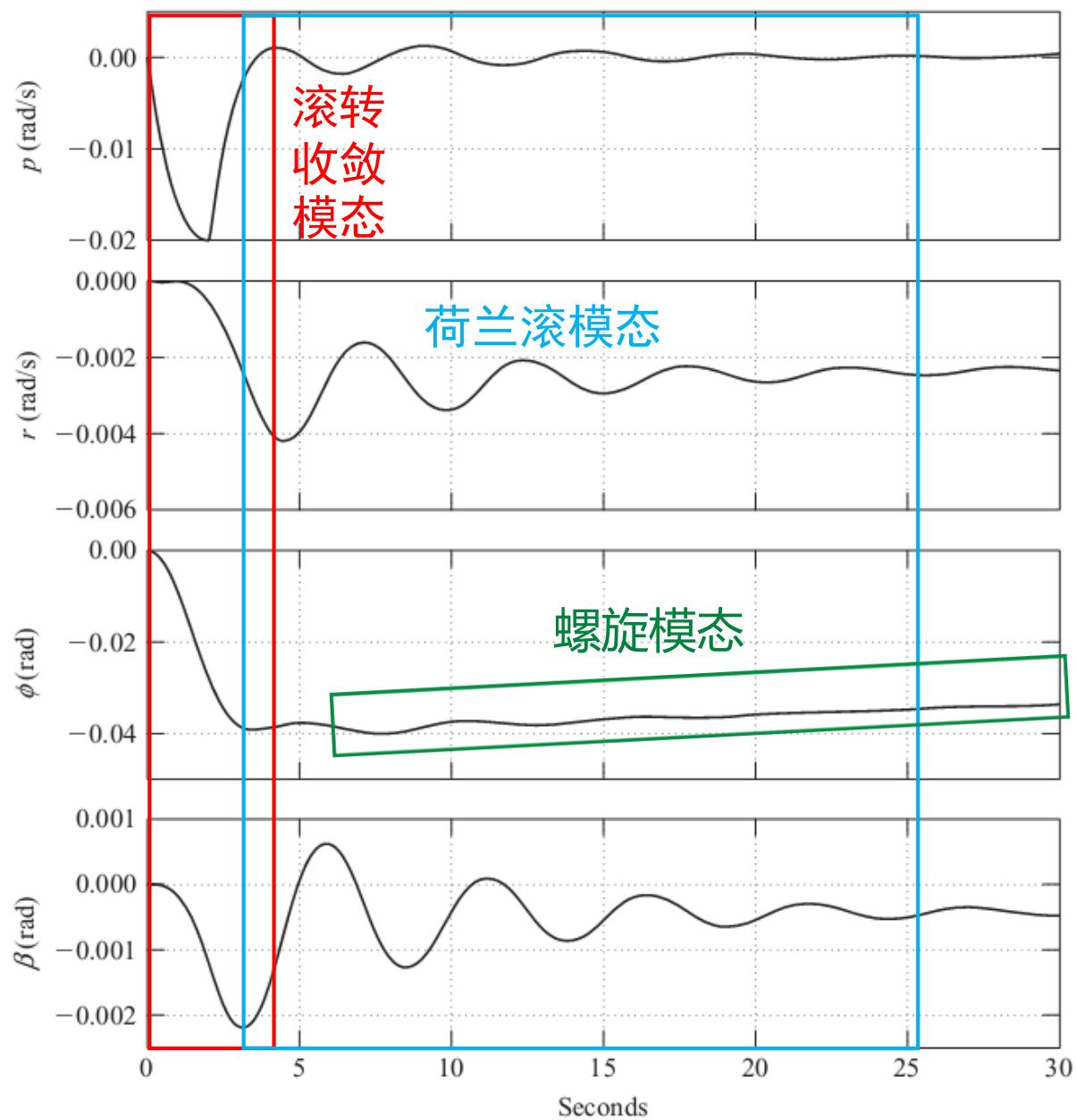
| 特征根 | 响应速度 | 主要参数 |
|--------|------|------------------|
| 小实根 | 缓慢 | ϕ, r |
| 大负实根 | 快速 | ϕ, p |
| 中等共轭复根 | 中等 | β, ϕ, r |

螺旋模态

滚转收敛模态

荷兰滚模态

典型 横航向 响应




短周期的近似

短周期模态仅持续数秒， u 几乎不变，故可设 $\Delta u = \Delta \dot{u} = 0$

则四阶状态方程中与速度相关的项可消去：

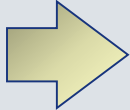
$$\begin{bmatrix} \Delta \dot{\alpha} \\ \Delta \dot{q} \\ \Delta \dot{\theta} \end{bmatrix} = \begin{bmatrix} \frac{C_{z\alpha}}{m_1 - C_{z\dot{\alpha}}c_1} & \frac{m_1 + C_{zq}c_1}{m_1 - C_{z\dot{\alpha}}c_1} & \frac{C_{z\theta}}{m_1 - C_{z\dot{\alpha}}c_1} \\ \frac{C_{m\alpha} + \xi_2 C_{z\alpha}}{I_{y1}} & \frac{C_{mq}c_1 + \xi_2(m_1 + C_{zq}c_1)}{I_{y1}} & \frac{\xi_2 C_{z\theta}}{I_{y1}} \\ 0 & 1 & 0 \end{bmatrix} \begin{bmatrix} \Delta \alpha \\ \Delta q \\ \Delta \theta \end{bmatrix} + \begin{bmatrix} \frac{C_{z\delta_e}}{m_1 - C_{z\dot{\alpha}}c_1} \\ \frac{C_{m\delta_e} + \xi_2 C_{z\delta_e}}{I_{y1}} \\ 0 \end{bmatrix} \Delta \delta_e$$

假设 $\theta_0 \approx 0$ ，则 $C_{z\theta} = -C_L \sin \theta_0 \approx 0$

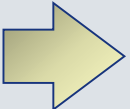


$$\begin{bmatrix} \Delta \dot{\alpha} \\ \Delta \dot{q} \end{bmatrix} = \begin{bmatrix} \frac{C_{z\alpha}}{m_1 - C_{z\dot{\alpha}}c_1} & \frac{m_1 + C_{zq}c_1}{m_1 - C_{z\dot{\alpha}}c_1} \\ \frac{C_{m\alpha} + \xi_2 C_{z\alpha}}{I_{y1}} & \frac{C_{mq}c_1 + \xi_2(m_1 + C_{zq}c_1)}{I_{y1}} \end{bmatrix} \begin{bmatrix} \Delta \alpha \\ \Delta q \end{bmatrix} + \begin{bmatrix} \frac{C_{z\delta_e}}{m_1 - C_{z\dot{\alpha}}c_1} \\ \frac{C_{m\delta_e} + \xi_2 C_{z\delta_e}}{I_{y1}} \end{bmatrix} \Delta \delta_e$$

$C_{zq} = C_{z\dot{\alpha}} \approx 0$



$$\begin{bmatrix} \Delta \dot{\alpha} \\ \Delta \dot{q} \end{bmatrix} = \begin{bmatrix} \frac{C_{z\alpha}}{m_1} & 1 \\ \frac{C_{m\alpha} + \xi_2 C_{z\alpha}}{I_{y1}} & \frac{C_{mq} c_1 + \xi_2 m_1}{I_{y1}} \end{bmatrix} \begin{bmatrix} \Delta \alpha \\ \Delta q \end{bmatrix} + \begin{bmatrix} \frac{C_{z\delta_e}}{m_1} \\ \frac{C_{m\delta_e} + \xi_2 C_{z\delta_e}}{I_{y1}} \end{bmatrix} \Delta \delta_e$$



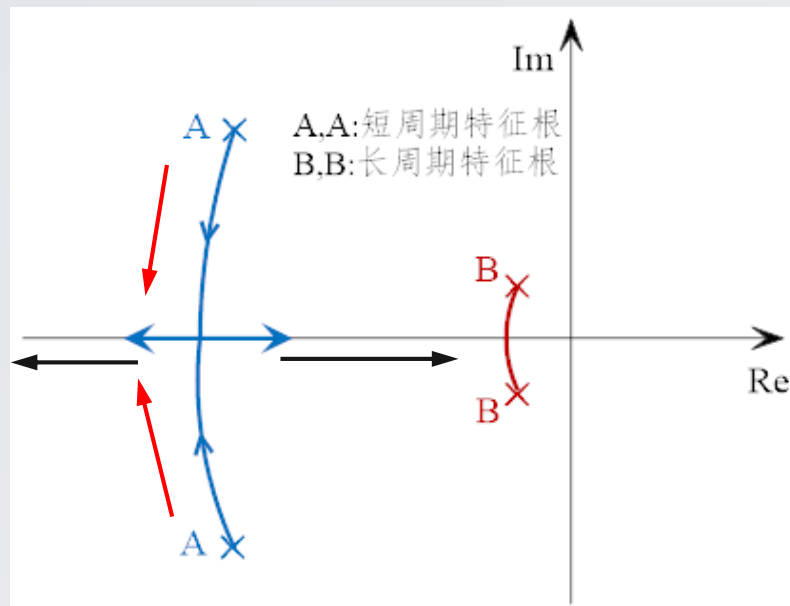
$$\omega_n = \sqrt{\frac{C_{z\alpha} c_1 C_{mq}}{m_1 I_{y1}} - \frac{C_{m\alpha}}{I_{y1}}} \quad \zeta = \frac{-\left(\frac{C_{z\alpha}}{m_1} + \frac{c_1}{I_{y1}} (C_{mq} + C_{m\dot{\alpha}})\right)}{2 \sqrt{\frac{C_{z\alpha} c_1 C_{mq}}{m_1 I_{y1}} - \frac{C_{m\alpha}}{I_{y1}}}}$$

$$m_1 = \frac{2m}{\rho V S}, \quad c_1 = \frac{\bar{c}}{2V}, \quad I_{y1} = \frac{I_y}{q_c S \bar{c}}, \quad \xi_1 = \frac{C_{x\dot{\alpha}} c_1}{m_1}, \quad \xi_2 = \frac{C_{m\dot{\alpha}} c_1}{m_1}$$

ω_{nsp} 直接取决于 $C_{m\alpha}$, 静稳定度提高, $C_{m\alpha}$ 下降, ω_{nsp} 增加。

ζ_{sp} 直接取决于 C_{mq} 与 $C_{m\dot{\alpha}}$, 尾容比越高, ζ_{sp} 阻尼越高。

短周期特性随重心变化趋势



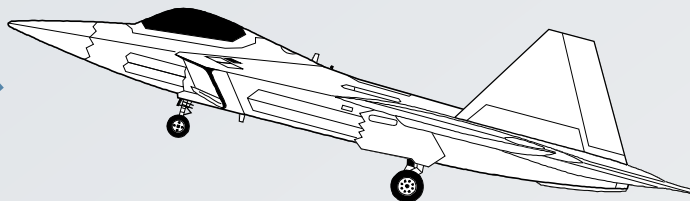
$x_{cg} \uparrow$, $H_n \downarrow$, λ_{sp} 向实轴移动

在实轴相遇后，随着重心继续后移， λ_{sp} 会分别沿实轴向左、右移动

产生一个较大负实根和一个较小正实根 动不稳定

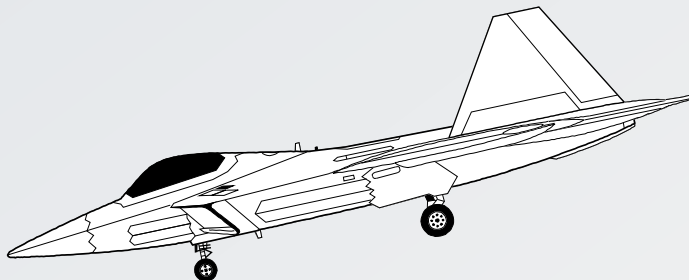
机理

$C_{m\alpha} < 0$, $C_{m\alpha}\alpha < 0$
产生低头力矩



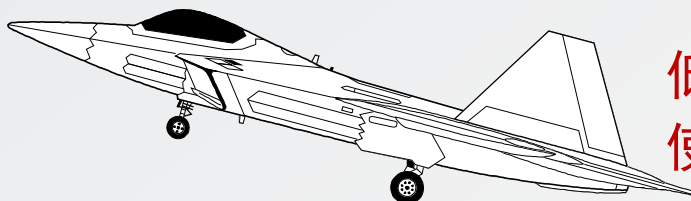
低头过程中 $q < 0$, $C_{mq}q > 0$,
使得飞机低头幅度减小

惯性使飞机持续低头直到
 $+M(C_{m\alpha}\alpha > 0)$ 使飞机抬头 ($q > 0$)



抬头过程中 $q > 0$, $C_{mq}q < 0$,
使得飞机的抬头幅度减小

惯性使飞机持续抬头直到
 $-M(C_{m\alpha}\alpha < 0)$ 使飞机低头 ($q < 0$)



低头过程中 $q < 0$, $C_{mq}q > 0$,
使得飞机低头幅度减小

短周期品质要求

对于短周期模态

- O_s (精度) 取决于 ζ_{sp}
 $\zeta_{sp} \uparrow, O_s \downarrow$, 精度 \uparrow
- T_p (速度) 取决于
 $\omega_{n,sp}$ 和 ζ_{sp} , $\omega_{n,sp} \downarrow$,
 $\zeta_{sp} \uparrow, T_p \uparrow$, 速度 \downarrow

阻尼比 ζ_{sp} 要求

| | Cat A & C $\zeta_{sp,min}$ | Cat A & C $\zeta_{sp,max}$ | Cat B $\zeta_{sp,min}$ | Cat B $\zeta_{sp,max}$ |
|-----|-------------------------------|-------------------------------|---------------------------|---------------------------|
| I | 0.35 | 1.3 | 0.3 | 2.0 |
| II | 0.25 | 2.0 | 0.2 | 2.0 |
| III | 0.15 | ---- | 0.15 | ---- |

- CAT A
快速且精确
- CAT B
和缓, 不需精确
- CAT C
和缓且精确

操纵期望参数(CAP) $\omega_{n,sp}^2/(n/\alpha)$ 要求

| | Cat A, min | Cat A, max | Cat B, min | Cat B, max | Cat C, min | Cat C, max |
|-----|---------------|---------------|---------------|---------------|---------------|---------------|
| I | 0.28 | 3.6 | 0.085 | 3.6 | 0.16 | 3.6 |
| II | 0.16 | 10.0 | 0.038 | 10.0 | 0.096 | 10.0 |
| III | 0.16 | ---- | 0.038 | ---- | 0.096 | ---- |

Control Anticipated Parameter

例题

Boeing 747 巡航状态下的特征方程为：

$$\lambda^4 + 0.75\lambda^3 + 0.935\lambda^2 + 0.0095\lambda + 0.0042 = 0$$

气动、几何及飞行状态参数如下：

$$C_{L\alpha} = 4.92, \quad S = 511 \text{ m}^2, \quad W = 2.83 \times 10^6 \text{ N} \\ V = 236 \text{ m/s}, \quad \rho = 0.3045 \text{ kg/m}^3$$

1. 确定飞机的短周期阻尼比和频率
2. 评估短周期飞行品质

解

$$\lambda^4 + 0.75\lambda^3 + 0.935\lambda^2 + 0.0095\lambda + 0.0042 = 0$$

$$\Rightarrow \lambda^4 + 0.75\lambda^3 + 0.935\lambda^2 = 0$$

$$\Rightarrow \lambda^2 + 0.75\lambda + 0.935 = 0$$

$$\Rightarrow \begin{cases} \omega_{sp} = \sqrt{0.935} = 0.97 \\ \zeta_{sp} = \frac{0.75}{2 \cdot 0.97} = 0.39 \end{cases}$$

$$n/\alpha = \frac{L}{W \cdot \alpha} = \frac{C_{L\alpha} q S}{W}$$

$$= \frac{4.92 \cdot 0.5 \cdot 0.3045 \cdot 236^2 \cdot 511}{2.83 \times 10^6} = 7.53$$

$$CAP = \frac{\omega_{sp}^2}{n/\alpha} = 0.128$$

巡航属于B种飞行阶段

一级飞行品质

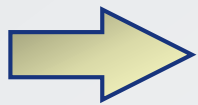
长周期近似

α 扰动在短周期振荡中会迅速衰减，并保持为0，则可假设长周期过程中 $\Delta\alpha = \Delta\dot{\alpha} = 0$ 。

由于长周期运动缓慢，可假设 $\dot{q} = \ddot{\theta} = 0$ ，则四阶方程中与 α, q 相关项可消去：

$$\begin{bmatrix} \dot{u} \\ \Delta\dot{\theta} \end{bmatrix} = \begin{bmatrix} \frac{C_{xu} - \xi_3 C_{zu}}{m_1} & \frac{C_{x\theta} - \xi_3 C_{z\theta}}{m_1} \\ \frac{-C_{zu}}{m_1 + C_{zq}c_1} & \frac{C_{z\theta}}{m_1 + C_{zq}c_1} \end{bmatrix} \begin{bmatrix} u \\ \Delta\theta \end{bmatrix} + \begin{bmatrix} \frac{C_{x\delta_e} - \xi_3 C_{z\delta_e}}{m_1} \\ \frac{-C_{z\delta_e}}{m_1 + C_{zq}c_1} \end{bmatrix} \Delta\delta_e$$

$$C_{z\theta} \approx 0$$



$$s^2 - \frac{C_{xu}}{m_1}s + \frac{C_{x\theta}C_{zu}}{m_1^2} = 0 \quad \xi_3 = \frac{C_{xq}c_1}{m_1 + C_{zq}c_1}$$

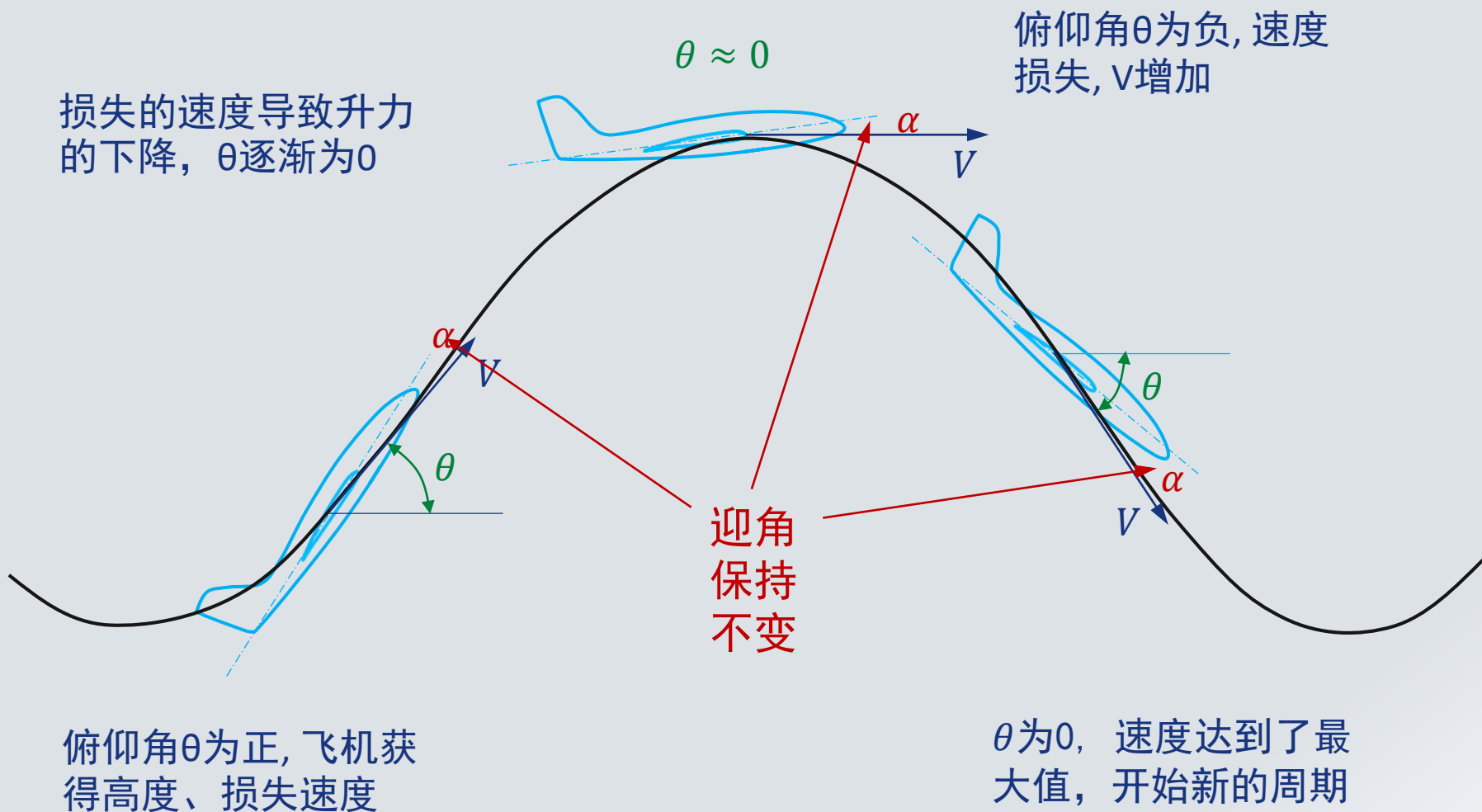
$$\Rightarrow \omega_n = \frac{1}{m_1} \sqrt{C_{x\theta} C_{zu}}, \quad \zeta = -\frac{C_{xu}}{2m_1 \omega_n} \quad \begin{aligned} C_{xu} &= -2C_D - C_{Du} \\ C_{x\theta} &= -C_L \cos \theta_0 \\ C_{zu} &= -2C_L - C_{Lu} \end{aligned}$$

低速条件下, $C_{Du} \approx C_{Lu} \approx 0$

平飞时可假设 $\theta_0 \approx 0$

$$\Rightarrow \begin{aligned} C_{xu} &= -2C_D \\ C_{x\theta} &= -C_L \\ C_{zu} &= -2C_L \end{aligned} \quad C_L = \frac{2W/S}{\rho U_0^2} \quad \Rightarrow \quad \begin{aligned} \omega_n &= \frac{\sqrt{2}g}{U_0} \\ \zeta &= \frac{1}{\sqrt{2}} \left(\frac{C_D}{C_L} \right) = \frac{1}{\sqrt{2}E} \end{aligned}$$

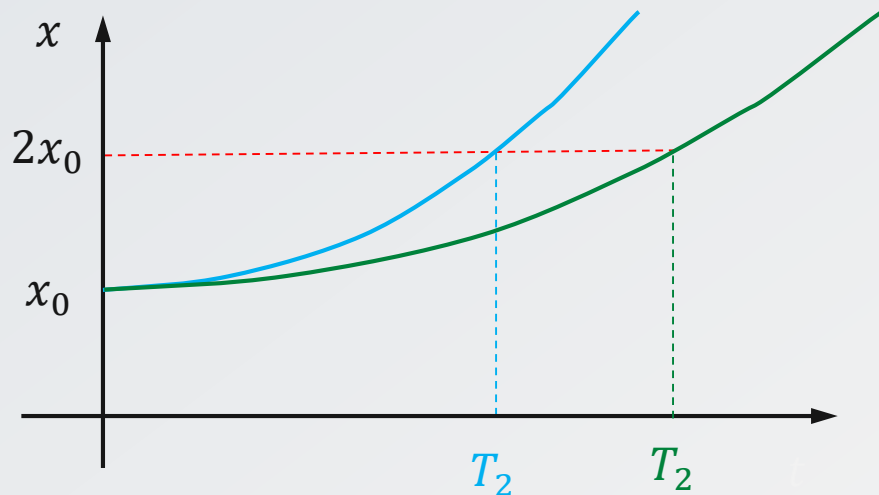
- ζ_p 与飞机的气动效率因子 (升阻比) E 成反比
- ω_p 随前向速度增加而降低, 即 T_p 随速度增加而增加



长周期品质要求

长周期的阻尼轻，周期很长，飞行员可轻易通过纵向操纵消除长周期模态

不稳定是可接受的



一级: $\zeta > 0.04$

二级: $\zeta > 0$

三级: $T_2 > 55s$

T_2 越大， 发散越慢， 飞行品质越好

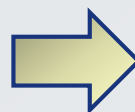
纵向特征方程的近似解法

$$\Delta(s) = 5.64s^4 + 13.14s^3 + 20.65s^2 + 0.163s + 0.061 = 0$$

短周期模态特征根较大，高阶项 \gg 低阶项，最高阶的三项近似对应短周期模态

$$\Delta(s) = 5.64s^4 + 13.14s^3 + 20.65s^2 = 0 \quad \text{标准二阶特征方程}$$


$$\Delta(s) = s^2 + 2\zeta_{sp}\omega_{sp}s + \omega_{sp}^2 = 0$$

 $\lambda_{sp} = -1.165 \pm 1.518i$ 精确解

$$\lambda_{sp} = -1.162 \pm 1.515i$$

长周期模态特征根很小，高阶项 \ll 低阶项，最低阶的三项近似对应短周期模态

$$\Delta(s) = 20.65s^2 + 0.163s + 0.061 = 0$$

 $\lambda_p = -0.0039 \pm 0.0542i$ 精确解

$$\lambda_p = -0.00302 \pm 0.0544i$$

滚转收敛模态机理

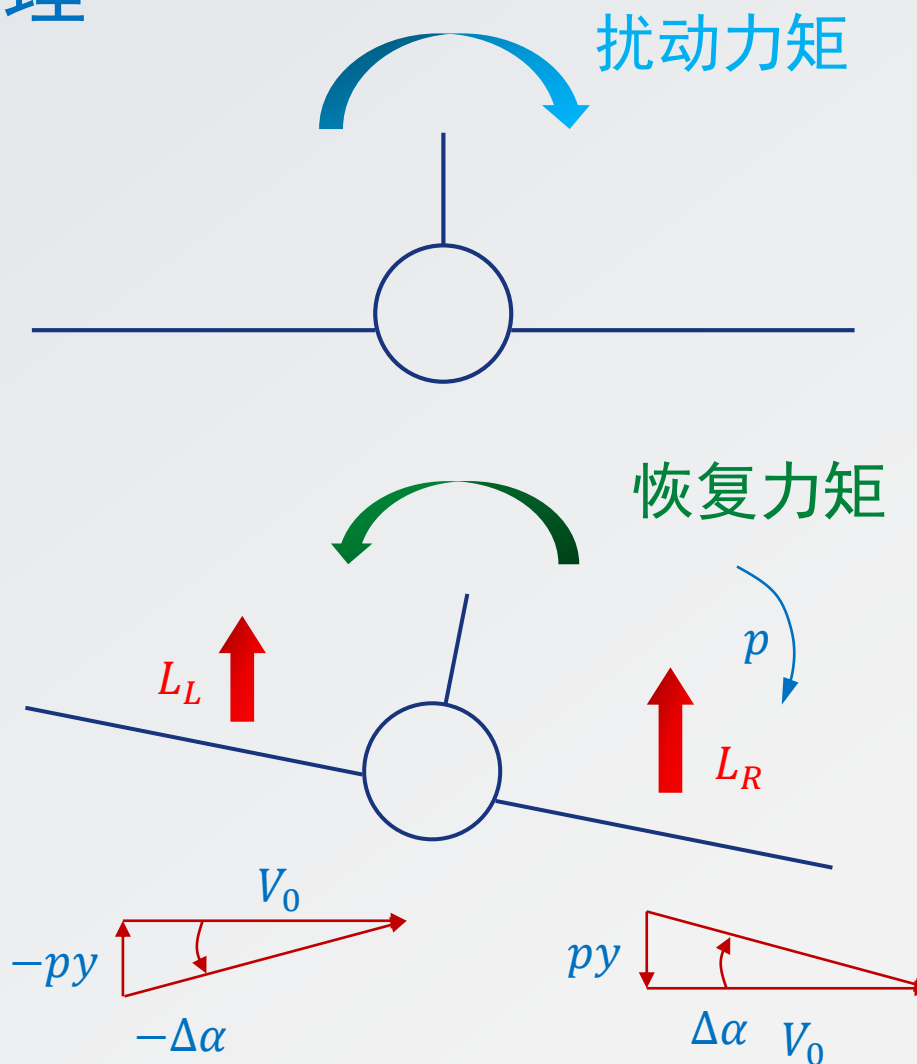
飞机滚转

- 向下一侧机翼 α 增加
- 向上一侧机翼 α 减小

下沉侧机翼升力提高
另一侧减小

产生恢复到初始平衡状态的滚转力矩

p 呈指数收敛
建立稳定的滚转



滚转收敛模态近似

横航向扰动之后首先体现的是重阻尼的滚转收敛模态，期间飞机主要关于 x 轴滚转，其他参数变化缓慢

因此可假设 $\Delta\dot{\beta} = r = \dot{r} = 0$

并忽略侧力与偏航力矩

$$I_{x1}\dot{p} - C_{lp}b_1p = C_{l\delta a}\Delta\delta_a + C_{l\delta r}\Delta\delta_r$$

对于自由响应， $\Delta\delta_a = \Delta\delta_r = 0$

$$I_{x1}\dot{p} - C_{lp}b_1p = 0 \quad \Rightarrow \quad \lambda_r = \frac{C_{lp}b_1}{I_{x1}}$$

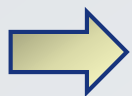
对于失速前迎角 $C_{lp} < 0$ ， λ_r 为大负实根

失速迎角附近的滚转会怎样？

滚转收敛品质要求

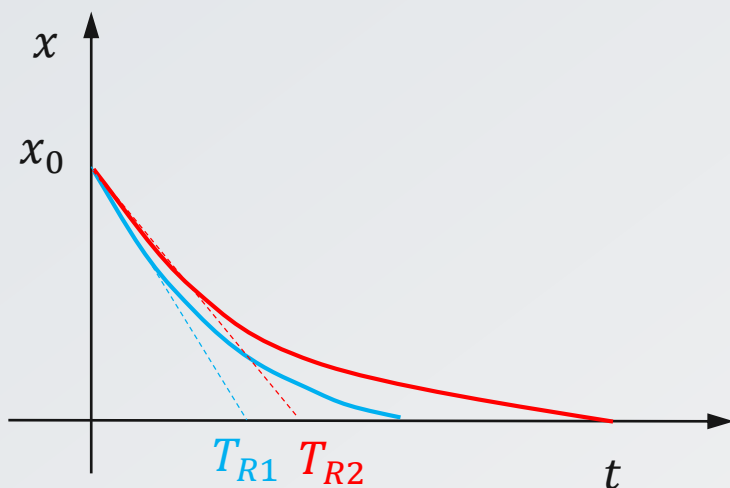
$$\lambda_r = \frac{C_{lp} b_1}{I_{x1}}$$

大负实根



$$T_R = -\frac{1}{\lambda_R}$$

小正值



T_R 越小，收敛越快
飞行品质越好

CAT A: 快速且精确

CAT B: 和缓, 不需精确

CAT C: 和缓且精确

Class I, IV: 轻, 快

Class II, III: 重, 慢

滚转收敛时间常数 T_R

| 飞机类型 | 飞行阶段 | 一级 | 二级 | 三级 |
|---------|-------|-----|-----|------|
| I, IV | A & C | 1.0 | 1.4 | 10.0 |
| II, III | A & C | 1.4 | 3.0 | 10.0 |
| ALL | B | 1.4 | 3.0 | 10.0 |

荷兰滚模态近似

紧随滚转收敛模态的振荡运动被称为荷兰滚模态。主要包括侧滑与航向运动。

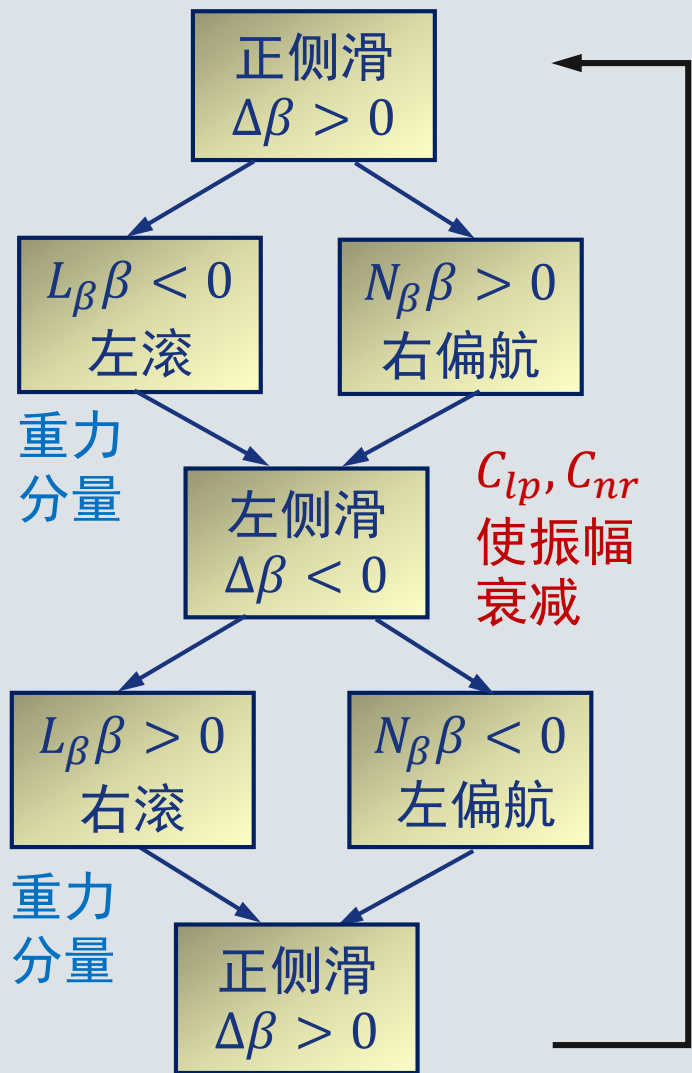
如果滚转运动足够小，则可认为 $\Delta\phi = p = 0$ ，并忽略滚转力矩方程，则有：

$$\begin{bmatrix} \Delta\dot{\beta} \\ \dot{r} \end{bmatrix} = \begin{bmatrix} a_{11} & a_{12} \\ a_{21} & a_{22} \end{bmatrix} \begin{bmatrix} \Delta\beta \\ r \end{bmatrix}$$

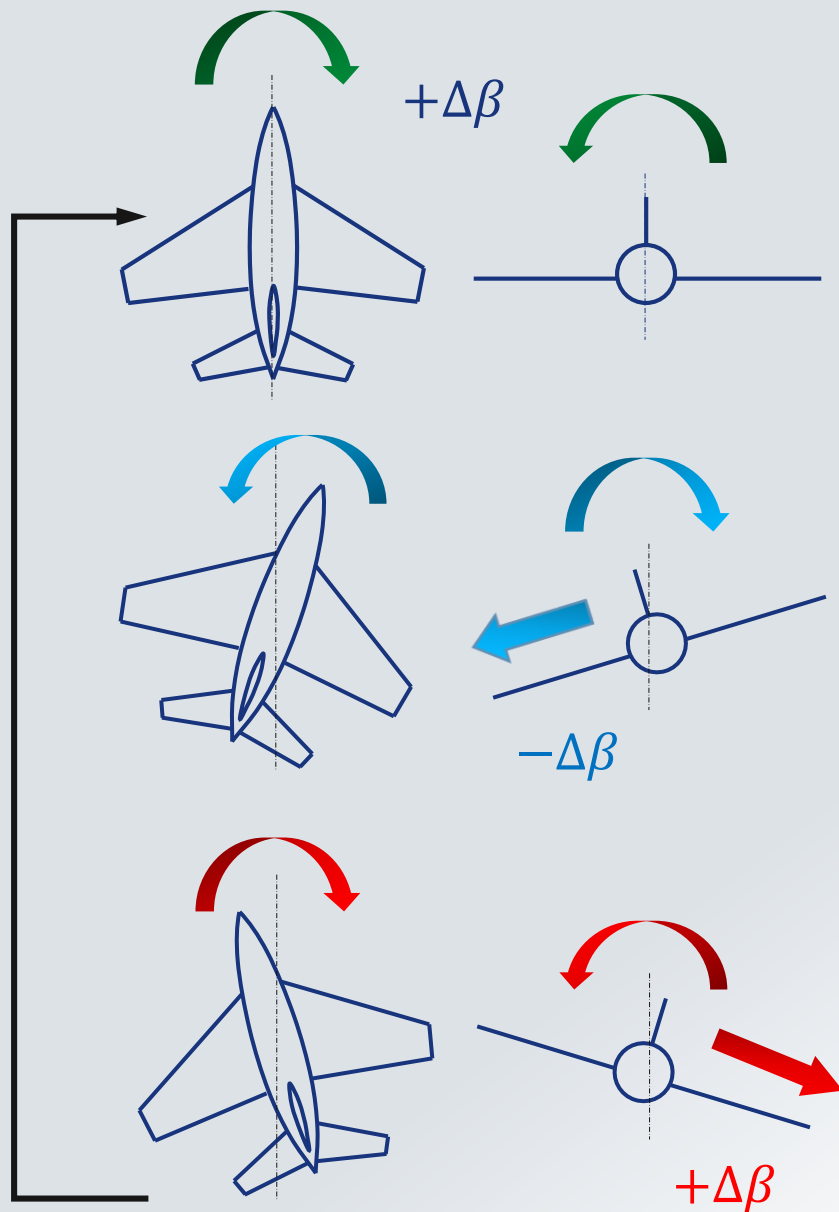


$$\Rightarrow \begin{cases} \omega_n = \sqrt{\frac{1}{m_1 I_{z1}} [C_{y\beta} C_{nr} b_1 + C_{n\beta} (m_1 - b_1 C_{yr})]} \\ \zeta = -\left(\frac{1}{2\omega_n}\right) \left(\frac{C_{y\beta}}{m_1} + \frac{b_1 C_{nr}}{I_{z1}}\right) \end{cases}$$

荷兰滚模态机理



新周期



荷兰滚品质要求

CAT A: 快速且精确

CAT B: 和缓, 不需精确

CAT C: 和缓且精确

对于荷兰滚模态

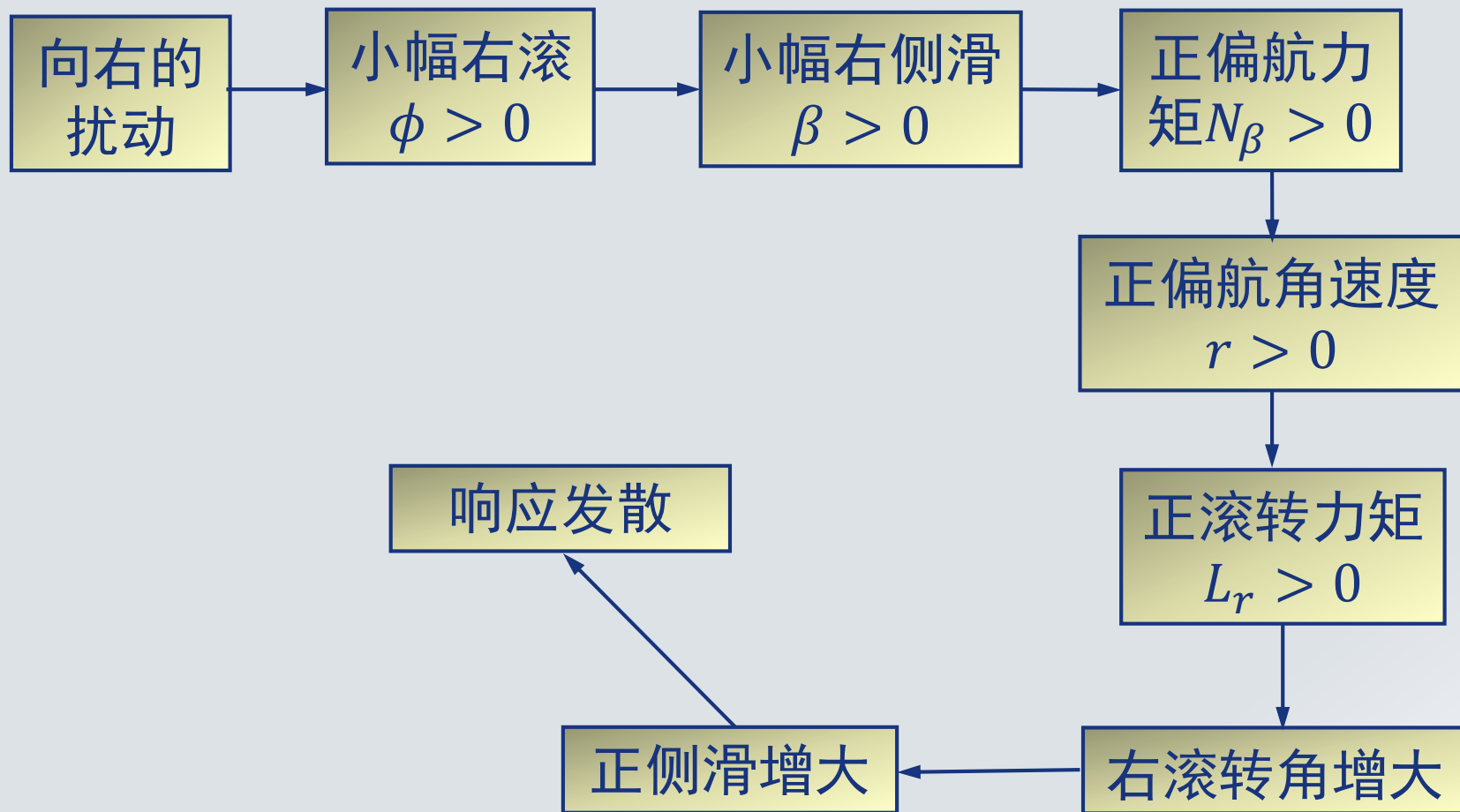
- 精度取决于 ζ_d : $\zeta_d \uparrow$, $O_s \downarrow$, 精度 \uparrow Class I, IV: 轻, 快
- 速度主要取决于 ω_n : $\omega_n \downarrow$, $T_p \uparrow$, 速度 \downarrow Class II, III: 重, 慢

荷兰滚模态参数 ζ_d , $\zeta_d \omega_n$ 及 ω_n 的要求

| 等级 | 飞行阶段 | 飞机类型 | $\zeta_{d,min}$ | $(\zeta_d \omega_{nd})_{min}$ | $\omega_{nd,min}$ |
|-----|------|----------------------------|-----------------|-------------------------------|-------------------|
| I | A | I, IV | 0.19 | 0.35 | 1.0 |
| I | A | II, III | 0.19 | 0.35 | 0.4 |
| I | B | All | 0.08 | 0.15 | 0.4 |
| I | C | I,II-C ^(b) , IV | 0.08 | 0.15 | 1.0, |
| I | C | II-L ^(b) , III | 0.08 | 0.15 | 0.4 |
| II | All | All | 0.02 | 0.05 | 0.4 |
| III | All | All | 0.02 | ---- | 0.4 |

C: 舰载机, L: 陆基飞机

螺旋模态机理



螺旋模态近似

在缓慢的螺旋运动中：

- 侧滑变化缓慢，故可假设 $\Delta\dot{\beta} \approx 0$ 。并忽略侧力方程
- 滚转角速度几乎为0，故可假设滚转力矩为0

滚转与偏航力矩可简写成

$$\begin{aligned} C_{l\beta}\Delta\beta + C_{lr}b_1r + C_{l\delta a}\Delta\delta_a + C_{l\delta r}\Delta\delta_r &= 0 \\ I_{z1}\dot{r} &= C_{n\beta}\Delta\beta + C_{nr}b_1r + C_{n\delta a}\Delta\delta_a + C_{n\delta r}\Delta\delta_r \end{aligned}$$

对于自由响应 $\Delta\delta_a = \Delta\delta_r = 0$

$$\Rightarrow \dot{r} = \frac{(-C_{n\beta}C_{lr} + C_{nr}C_{l\beta})b_1}{I_{z1}C_{l\beta}}r \quad \Rightarrow \lambda_s = \frac{b_1(C_{nr}C_{l\beta} - C_{n\beta}C_{lr})}{I_{z1}C_{l\beta}}$$

$$\lambda_s = \frac{b_1(C_{nr}C_{l\beta} - C_{n\beta}C_{lr})}{I_{z1}C_{l\beta}}$$

通常

横向静稳定, $C_{l\beta} < 0$

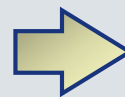
偏航阻尼, $C_{nr} < 0$



$$C_{l\beta}C_{nr} > 0$$

航向静稳定, $C_{n\beta} > 0$

交叉阻尼, $C_{lr} > 0$



$$C_{n\beta}C_{lr} > 0$$

当 $|C_{l\beta}C_{nr}| > |C_{lr}C_{n\beta}|$ 时, 螺旋模态稳定

螺旋模态发展缓慢, 即使不稳定, 飞行员也能轻易干预, **允许不稳定**, 只要发散不太快。

螺旋品质要求

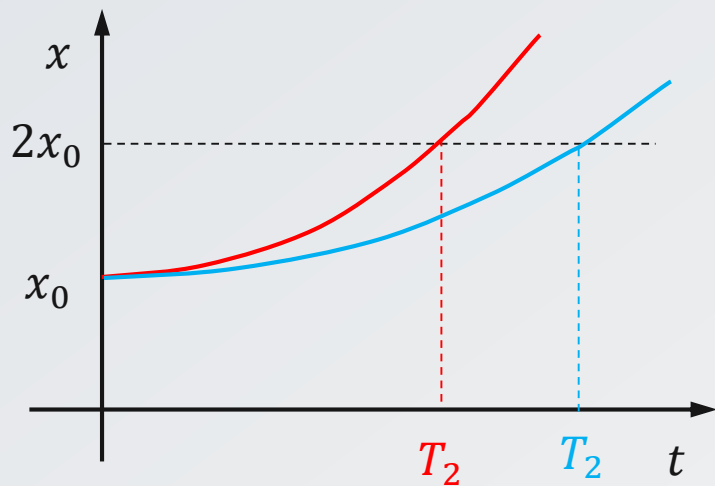
螺旋模态很慢，驾驶员可轻易通过操纵消除此模态

不稳定是可接受的

CAT A: 快速

CAT B & C: 和缓

螺旋模态倍幅时 T_2 要求



T_2 越大，发散越慢
飞行品质越好

| 飞机类型 | 飞行阶段 | 一级 | 二级 | 三级 |
|---------|------|-----|-----|----|
| I, IV | A | 12s | 8s | 4s |
| I, IV | B, C | 20s | 12s | 4s |
| II, III | All | 20s | 12s | 4s |

若 $\lambda_s < 0$ ，螺旋模态稳定，一级品质